

МИНИСТЕРСТВО СЕЛЬСКОГО ХОЗЯЙСТВА РОССИЙСКОЙ ФЕДЕРАЦИИ

Федеральное государственное бюджетное образовательное учреждение
высшего образования
**«КУБАНСКИЙ ГОСУДАРСТВЕННЫЙ АГРАРНЫЙ УНИВЕРСИТЕТ
ИМЕНИ И.Т. ТРУБИЛИНА»**

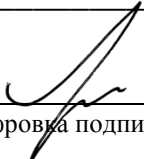
Факультет прикладной информатики
Кафедра компьютерных систем и технологий

КУРСОВАЯ РАБОТА

по дисциплине: Интеллектуальные системы и технологии
на тему: АСК-анализ победителей самых важных марафонов в мире на
основе данных портала Kaggle

Выполнил студент группы: ИТ1941 Опрышко Сергей Сергеевич

Допущен к защите: _____

Руководитель проекта: д.э.н., к. т. н., профессор Луценко Е.В. ()
(подпись, расшифровка подписи)

Защищен _____
(дата)

Оценка _____

Краснодар 2021

МИНИСТЕРСТВО СЕЛЬСКОГО ХОЗЯЙСТВА РОССИЙСКОЙ ФЕДЕРАЦИИ
Федеральное государственное бюджетное образовательное учреждение высшего
образования
«КУБАНСКИЙ ГОСУДАРСТВЕННЫЙ АГРАРНЫЙ УНИВЕРСИТЕТ ИМЕНИ И.Т.
ТРУБИЛИНА»

Факультет прикладной информатики

РЕЦЕНЗИЯ

на курсовую работу

Студента Опрышко Сергея Сергеевича
курса 2 очной формы обучения группы ИТ1941
Направление подготовки 09.04.02 «Информационные системы и технологии»
Наименование темы «АСК-анализ победителей самых важных марафонов в мире на основе данных портала Kaggle»

Рецензент: Луценко Евгений Вениаминович, д.э.н., к.т.н., профессор
(Ф.И.О., ученое звание и степень, должность)

Оценка качества выполнения курсовой работы

№ п/п	Показатель	Оценка соответствия («неудовлетворительно», «удовлетворительно», «хорошо», «отлично»)
1	Степень полноты обзора состояния проблемы и корректность постановки цели и задач исследования	5
2	Уровень и корректность использования в работе различных методов исследований	5
3	Степень комплексности работы, применения в ней знаний общепрофессиональных и специальных дисциплин	5
4	Ясность, четкость, последовательность и обоснованность изложения	5
5	Применение современных технологий обработки информации	5
6	Качество оформления работы (общий уровень грамотности, стиль изложения, качество иллюстраций, соответствие требованиям по оформлению)	5
7	Уровень освоения компетенций в результате выполнения курсовой работы (проекта)	5
8	Ответы на вопросы при защите	5

Достоинства работы _____

Недостатки работы _____

Итоговая оценка при защите _____

Рецензент _____ (Е.В. Луценко)

« _____ » _____ 2021 г.

РЕФЕРАТ

Курсовая работа содержит: 37 страниц, 29 рисунков, 17 литературных источников.

Ключевые слова: СИСТЕМА ИСКУССТВЕННОГО ИНТЕЛЛЕКТА, AIDOS-X, КОГНИТИВНЫЙ АНАЛИЗ, МОДЕЛИ, ШКАЛЫ, КЛАССЫ.

Целью работы провести АСК-анализ победителей самых важных марафонов в мире на основе данных портала Kaggle. В данной курсовой работе необходимо проанализировать методы формирования обобщенных образов классов и решения задач идентификации конкретных объектов с классами, принятия решений и исследования моделируемой предметной области путем исследования ее модели.

СОДЕРЖАНИЕ

ВВЕДЕНИЕ	5
1. СИНТЕЗ И ВЕРИФИКАЦИЯ МОДЕЛЕЙ	6
1.1. ОПИСАНИЕ РЕШЕНИЯ	6
1.2. ПРЕОБРАЗОВАНИЕ ИСХОДНЫХ ДАННЫХ ИЗ CSV-ФОРМАТА В ФАЙЛ ИСХОДНЫХ ДАННЫХ MS EXCEL.....	8
1.3. ВВОД ВЫБОРКИ В СИСТЕМУ AIDOS-X	10
1.4. СИНТЕЗ И ВЕРИФИКАЦИЯ СТАТИСТИЧЕСКИХ И ИНТЕЛЛЕКТУАЛЬНЫХ МОДЕЛЕЙ	14
1.5. ВИДЫ МОДЕЛЕЙ СИСТЕМЫ AIDOS-X.....	16
1.6. РЕЗУЛЬТАТЫ ВЕРИФИКАЦИИ МОДЕЛЕЙ.....	18
2. РЕШЕНИЕ ЗАДАЧ В НАИБОЛЕЕ ДОСТОВЕРНОЙ МОДЕЛИ.....	22
2.1. РЕШЕНИЕ ЗАДАЧИ ИДЕНТИФИКАЦИИ	22
2.2. КЛАСТЕРНО-КОНСТРУКТИВНЫЙ АНАЛИЗ	26
2.3. НЕЛОКАЛЬНЫЕ НЕЙРОННЫЕ СЕТИ И НЕЙТРОНЫ	28
2.4. SWOT И PEST МАТРИЦЫ И ДИАГРАММЫ.....	31
ЗАКЛЮЧЕНИЕ.....	34
СПИСОК ИСПОЛЬЗУЕМЫХ ИСТОЧНИКОВ.....	35

ВВЕДЕНИЕ

Одним из важных и перспективных направлений развития современных информационных технологий является создание систем искусственного интеллекта. Существует множество альтернатив систем искусственного интеллекта, но возникает необходимость оценки качества математических моделей этих систем. В данной работе рассмотрено решение задачи АСК-анализ победителей самых важных марафонов в мире на основе данных портала Kaggle.

Для достижения поставленной цели необходимы свободный доступ к тестовым исходным данным и методика, которая поможет преобразовать эти данные в форму, которая необходима для работы в системе искусственного интеллекта. Удачным выбором является сборник баз данных Kaggle.

В данной курсовой работе использована база данных «World Marathons Majors» из банка исходных данных по задачам искусственного интеллекта – Kaggle.

Для решения задачи используем стандартные возможности MS Office Word и Excel, а также систему искусственного интеллекта "Aidos-X++".

1. СИНТЕЗ И ВЕРИФИКАЦИЯ МОДЕЛЕЙ

1.1. Описание решения

В качестве метода исследования, решения проблемы и достижения цели было решено использовать новый метод искусственного интеллекта: Автоматизированный системно-когнитивный анализ или АСК-анализ.

Основной причиной выбора АСК-анализа является то, что он включает теорию и метод количественного выявления в сопоставимой форме силы и направления причинно-следственных зависимостей в неполных зашумленных данных очень большой размерности числовой и не числовой природы, измеряемых в различных типах шкал и единицах измерения.

Очень важным является также то, что АСК-анализ имеет свой развитый и доступный программный инструментарий, в качестве которого в настоящее время выступает Универсальная когнитивная аналитическая система Aidos-X.

Преимущества данной системы:

- универсальность;
- доступность, то есть данная система находится в полном открытом бесплатном доступе, причем с актуальными исходными текстам;
- одна из первых отечественных систем искусственного интеллекта персонального уровня, т.е. она не требует от пользователя специальной подготовки в области технологий искусственного интеллекта (акт внедрения системы Aidos-X 1987 года);
- обеспечивает устойчивое выявление в сопоставимой форме силы и направления причинно-следственных зависимостей в неполных зашумленных взаимозависимых (нелинейных) данных очень большой размерности числовой и не числовой природы, измеряемых в различных типах шкал (номинальных, порядковых и числовых) и в различных единицах измерения;

- содержит большое количество локальных и облачных учебных и научных приложений (в настоящее время их 31 и 251, соответственно);

- мультязычная поддержка интерфейса (больше 50 языков);

- поддерживает online среду накопления знаний и широко используется во всем мире;

- наиболее трудоемкие в вычислительном отношении операции синтеза моделей и распознавания реализует с помощью графического процессора (GPU), что на некоторых задачах обеспечивает ускорение решения этих задач в несколько тысяч раз;

- обеспечивает преобразование исходных эмпирических данных в информацию, а ее в знания и решение задач классификации, поддержки принятия решений и исследования предметной области путем исследования ее системно-когнитивной модели, генерируя при этом очень большое количество табличных и графических выходных форм (развития когнитивная графика), у многих из которых нет никаких аналогов в других системах (примеры форм можно посмотреть в работе;

- хорошо имитирует человеческий стиль мышления: дает результаты анализа, понятные экспертам на основе их опыта, интуиции и профессиональной компетенции.

В соответствии с методологией АСК-анализа решение поставленной задачи проведем в четыре этапа:

1. Преобразование исходных данных из csv-формата в промежуточные файлы MS Excel.

2. Преобразование исходных данных из промежуточных файлов MS Excel в базы данных системы Aidos-X.

3. Синтез и верификация моделей предметной области.

4. Применение моделей для решения задач идентификации, прогнозирования и исследования предметной области.

1.2. Преобразование исходных данных из CSV-формата в файл исходных данных MS Excel

С электронного ресурса [kaggle.com](https://www.kaggle.com/emmanuelleai/world-marathons-majors) возьмем набор данных «World Marathons Majors»

<https://www.kaggle.com/emmanuelleai/world-marathons-majors>

Csv файл содержит следующие данные:

Winner – Имя участника.

Year Год проведения марафона.

Gender Пол участника марафона.

Country Страна, где родился участник марафона.

Time Время, затраченное участником на преодоление марафона.

Marathon Страна проведения турнира.

Для конвертации csv-файла в xls был использован онлайн конвертер:

<https://document.online-convert.com/ru/convert/csv-to-excel>

После конвертации необходимо добавить еще один столбец, в данном случае было решено дублировать столбец, содержащий имена участников. Также данный столбец был переименован в «winner» и размещен в таблице между столбцами «year» и «gender» (Рисунок 1).

	1	2	3	4	5	6	7
1	winner	year	winner	gender	country	time	marathon
2	Dickson Chumba	2018	Dickson Chumba	Male	Kenya	02:05:30	Tokyo
3	Birhane Dibaba	2018	Birhane Dibaba	Female	Ethiopia	02:19:51	Tokyo
4	Wilson Kipsang	2017	Wilson Kipsang	Male	Kenya	02:03:58	Tokyo
5	Sarah Chepchirchi	2017	Sarah Chepchirchir	Female	Kenya	02:19:47	Tokyo
6	Feyisa Lilesa	2016	Feyisa Lilesa	Male	Ethiopia	02:06:56	Tokyo
7	Helah Kiprop	2016	Helah Kiprop	Female	Kenya	02:21:27	Tokyo
8	Endeshaw Negesse	2015	Endeshaw Negesse	Male	Ethiopia	02:06:00	Tokyo
9	Birhane Dibaba	2015	Birhane Dibaba	Female	Ethiopia	02:23:15	Tokyo
10	Dickson Chumba	2014	Dickson Chumba	Male	Kenya	02:05:42	Tokyo
11	Tirfi Tsegaye	2014	Tirfi Tsegaye	Female	Ethiopia	02:22:23	Tokyo
12	Dennis Kimetto	2013	Dennis Kimetto	Male	Kenya	02:06:50	Tokyo
13	Aberu Kebede	2013	Aberu Kebede	Female	Ethiopia	02:25:34	Tokyo
14	Michael Kipyego	2012	Michael Kipyego	Male	Kenya	02:07:37	Tokyo
15	Atsede Habtamu	2012	Atsede Habtamu	Female	Ethiopia	02:25:28	Tokyo
16	Hailu Mekonnen	2011	Hailu Mekonnen	Male	Ethiopia	02:07:35	Tokyo
17	Noriko Higuchi	2011	Noriko Higuchi	Female	Japan	02:28:49	Tokyo
18	Masakazu Fujiwara	2010	Masakazu Fujiwara	Male	Japan	02:12:19	Tokyo
19	Alevtina Biktimirova	2010	Alevtina Biktimirova	Female	Russia	02:34:39	Tokyo
20	Salim Kipsang	2009	Salim Kipsang	Male	Kenya	02:10:27	Tokyo
21	Mizuho Nasukawa	2009	Mizuho Nasukawa	Female	Japan	02:25:38	Tokyo
22	Claudia Dreher	2008	Claudia Dreher	Female	Germany	02:35:35	Tokyo
23	Daniel Njenga	2007	Daniel Njenga	Male	Kenya	02:09:45	Tokyo
24	Hitomi Niiya	2007	Hitomi Niiya	Female	Japan	02:31:02	Tokyo
25	Eliud Kipchoge	2017	Eliud Kipchoge	Male	Kenya	02:03:32	Berlin
26	Gladys Cherono	2017	Gladys Cherono	Female	Kenya	02:20:23	Berlin
27	Kenenisa Bekele	2016	Kenenisa Bekele	Male	Ethiopia	02:03:03	Berlin
28	Aberu Kebede	2016	Aberu Kebede	Female	Ethiopia	02:20:45	Berlin
29	Eliud Kipchoge	2015	Eliud Kipchoge	Male	Kenya	02:04:00	Berlin
30	Gladys Cherono	2015	Gladys Cherono	Female	Kenya	02:19:25	Berlin
31	Dennis Kimetto	2014	Dennis Kimetto	Male	Kenya	02:02:57	Berlin
32	Tirfi Tsegaye	2014	Tirfi Tsegaye	Female	Ethiopia	02:20:18	Berlin
33	Wilson Kipsang	2013	Wilson Kipsang	Male	Kenya	02:03:23	Berlin
34	Florence Kiplagat	2013	Florence Kiplagat	Female	Kenya	02:21:13	Berlin
35	Geoffrey Mutai	2012	Geoffrey Mutai	Male	Kenya	02:04:15	Berlin
36	Aberu Kebede	2012	Aberu Kebede	Female	Ethiopia	02:20:30	Berlin
37	Patrick Musyoki	2011	Patrick Musyoki	Male	Kenya	02:03:38	Berlin
38	Florence Kiplagat	2011	Florence Kiplagat	Female	Kenya	02:19:44	Berlin

Рисунок 1 - Фрагмент обучающей выборки

Таким образом, в качестве классификационной шкалы решено использовать столбец 2. Описательные шкалы столбцы 3-7.

1.3. Ввод выборки в систему Aidos-X

Теперь, когда имеется обучающая выборка в формате *.xls, можно импортировать ее в систему Aidos-X.

Скопируем данную выборку в папку Inp_data и переименуем ее в Inp_data. Далее был использован универсальный программный интерфейс импорта данных в систему Aidos-X (режим 2.3.2.2), результат заполнения данной формы представлен на рисунке 2.

2.3.2.2. Универсальный программный интерфейс импорта данных в систему "ЭЙДОС-X++"

Автоматическая формализация предметной области: генерация классификационных и описательных шкал и градаций, а также обучающей и распознаваемой выборки на основе базы исходных данных: "Inp_data"

Задайте тип файла исходных данных: "Inp_data":

- XLS - MS Excel-2003 Стандарт XLS-файла
- XLSX- MS Excel-2007(2010) Стандарт XLS-файла
- DBF - DBASE IV (DBF/NTX) Стандарт DBF-файла
- CSV - CSV => DBF конвертер Стандарт CSV-файла

Задайте параметры:

- Нули и пробелы считать ОТСУТСТВИЕМ данных
- Нули и пробелы считать ЗНАЧЕНИЯМИ данных
- Создавать БД средних по классам "Inp_davr.dbf"?
- Требования к файлу исходных данных

Задайте диапазон столбцов классификационных шкал:

Начальный столбец классификационных шкал:

Конечный столбец классификационных шкал:

Задайте диапазон столбцов описательных шкал:

Начальный столбец описательных шкал:

Конечный столбец описательных шкал:

Задайте режим:

- Формализации предметной области (на основе "Inp_data")
- Генерации распознаваемой выборки (на основе "Inp_rasp")

Задайте способ выбора размера интервалов:

- Равные интервалы с разным числом наблюдений
- Разные интервалы с равным числом наблюдений

Задание параметров формирования сценариев или способа интерпретации текстовых полей "Inp_data":

- Не применять сценарный метод АСК-анализа
- Применить сценарный метод АСК-анализа
- Применить спец. интерпретацию текстовых полей классов
- Применить спец. интерпретацию текстовых полей признаков

Параметры интерпретации значений текстовых полей "Inp_data":

Интерпретация TXT-полей классов:

Значения полей текстовых классификационных шкал файла исходных данных "Inp_data" рассматриваются как целое

Интерпретация TXT-полей признаков:

Значения полей текстовых описательных шкал файла исходных данных "Inp_data" рассматриваются как целое

Какие наименования ГРАДАЦИЙ числовых шкал использовать:

- Только интервальные числовые значения (например: "1/3-{59873.0000000, 178545.6666667}")
- Только наименования интервальных числовых значений (например: "Минимальное")
- И интервальные числовые значения, и их наименования (например: "Минимальное: 1/3-{59873.0000000, 178545.6666667}")

Ok Cancel

Рисунок 2 - Ввод обучающей выборки

Стоит отметить следующие настройки:

- Тип файла – xls;
- Классификационные шкалы – 2;
- Описательные шкалы – 3-7;
- Применяется спец. интерпретация текстовых полей признаков;
- В качестве признаков рассматриваются слова, без проведения

лемитизации.

В форме задания размерности модели системы оставляем всё без изменений (Рисунок 3).

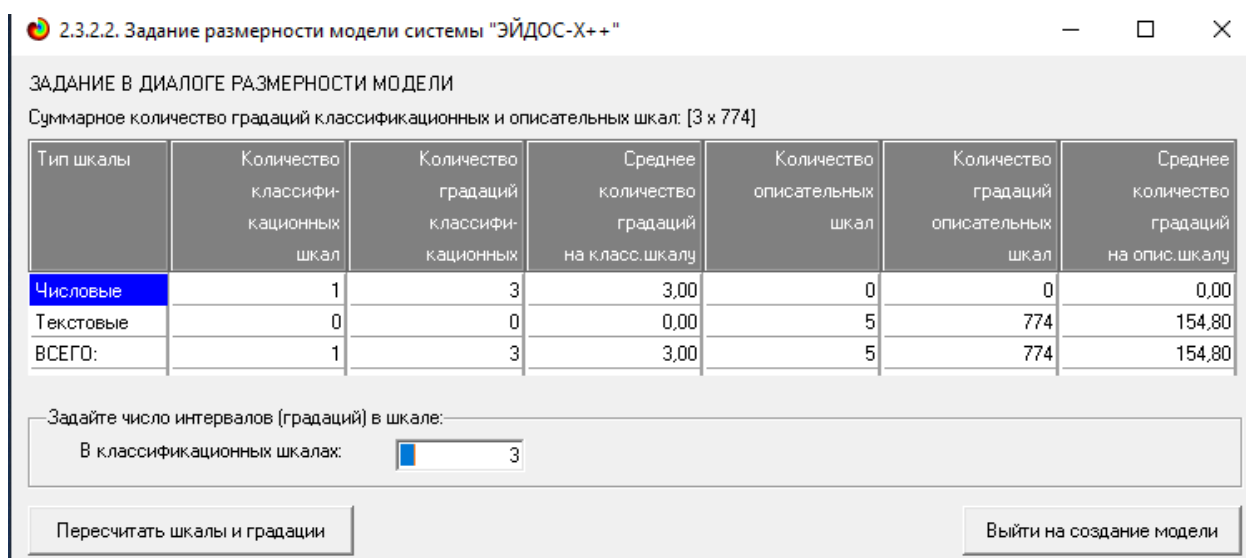


Рисунок 3 - Задание размерности модели системы Aidos-X

Процесс импорта данных из внешней БД "Inp_data.xls" в систему Aidos-X представлен на рисунке 4.

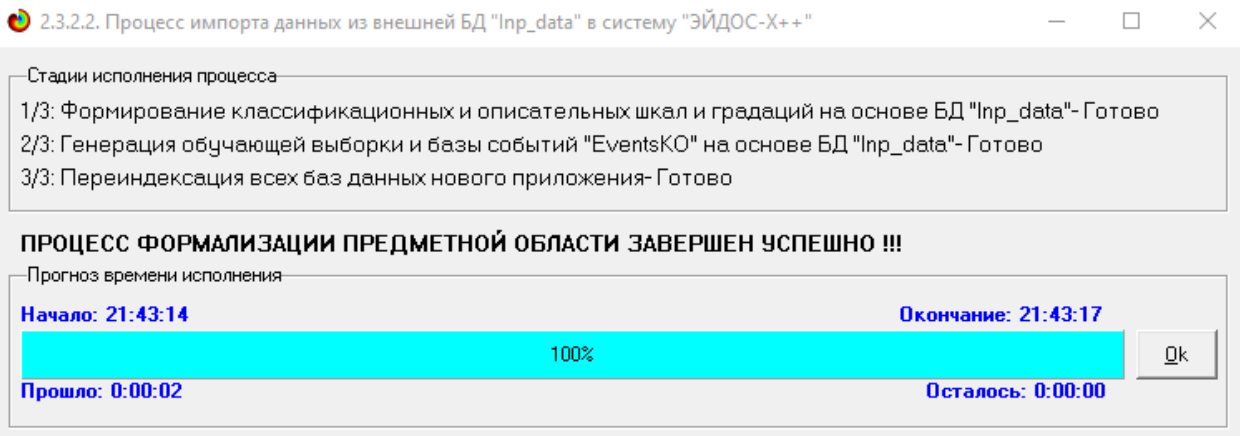


Рисунок 4 – Процесс импорта данных

Так как предварительно числовые шкалы были разбиты на интервалы, то перерасчет шкал после ввода выборки производить не надо. После импорта автоматически формируются классификационные и описательные шкалы, с применением которых исходные данные кодируются и представляются в форме эвентологических баз данных. Тем самым этап формализации предметной области выполняется полностью автоматизировано.

Классификационная шкала представлена на рисунке 5, её можно просмотреть в режиме 2.1. Описательные шкалы – в режиме 2.2 (рисунок 6).

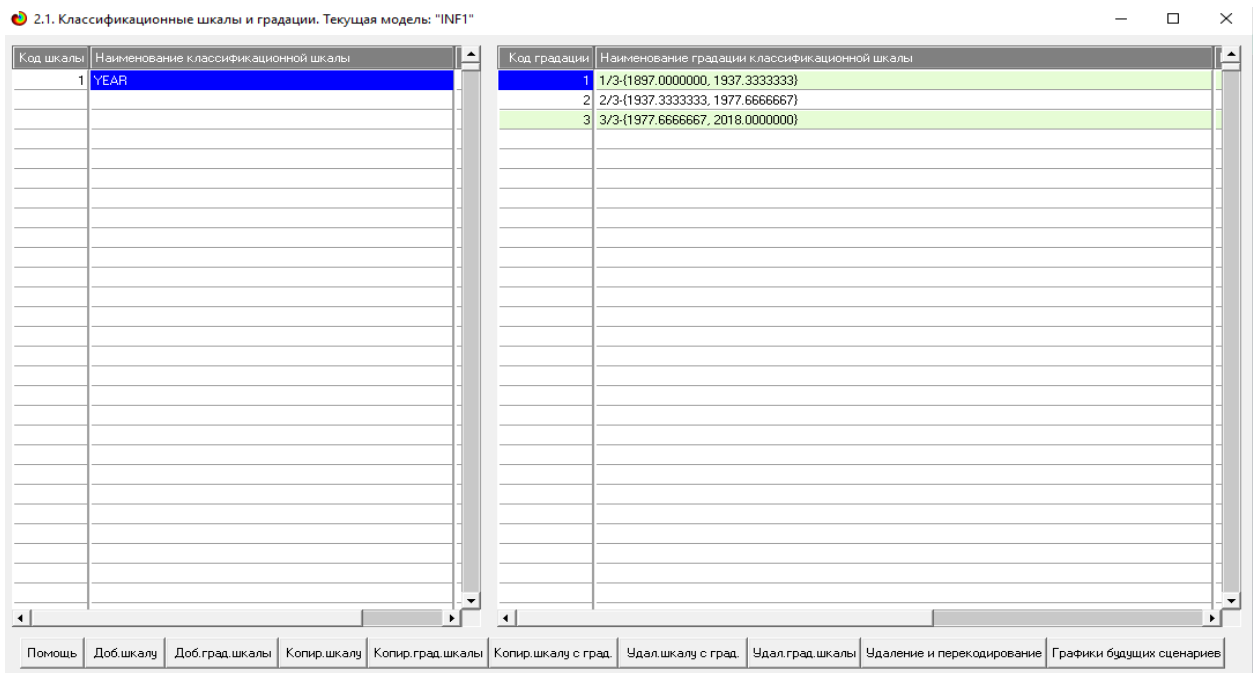


Рисунок 5 - Классификационные шкалы и градации

Тем самым создаются все необходимые и достаточные предпосылки для выявления силы и направления причинно-следственных связей между значениями факторов и результатами их совместного системного воздействия (с учетом нелинейности системы).

1.4. Синтез и верификация статистических и интеллектуальных моделей

Далее запускаем режим 3.5, в котором задаются модели для синтеза и верификации, а также задается модель, которой по окончании режима присваивается статус текущей (рисунок 8).

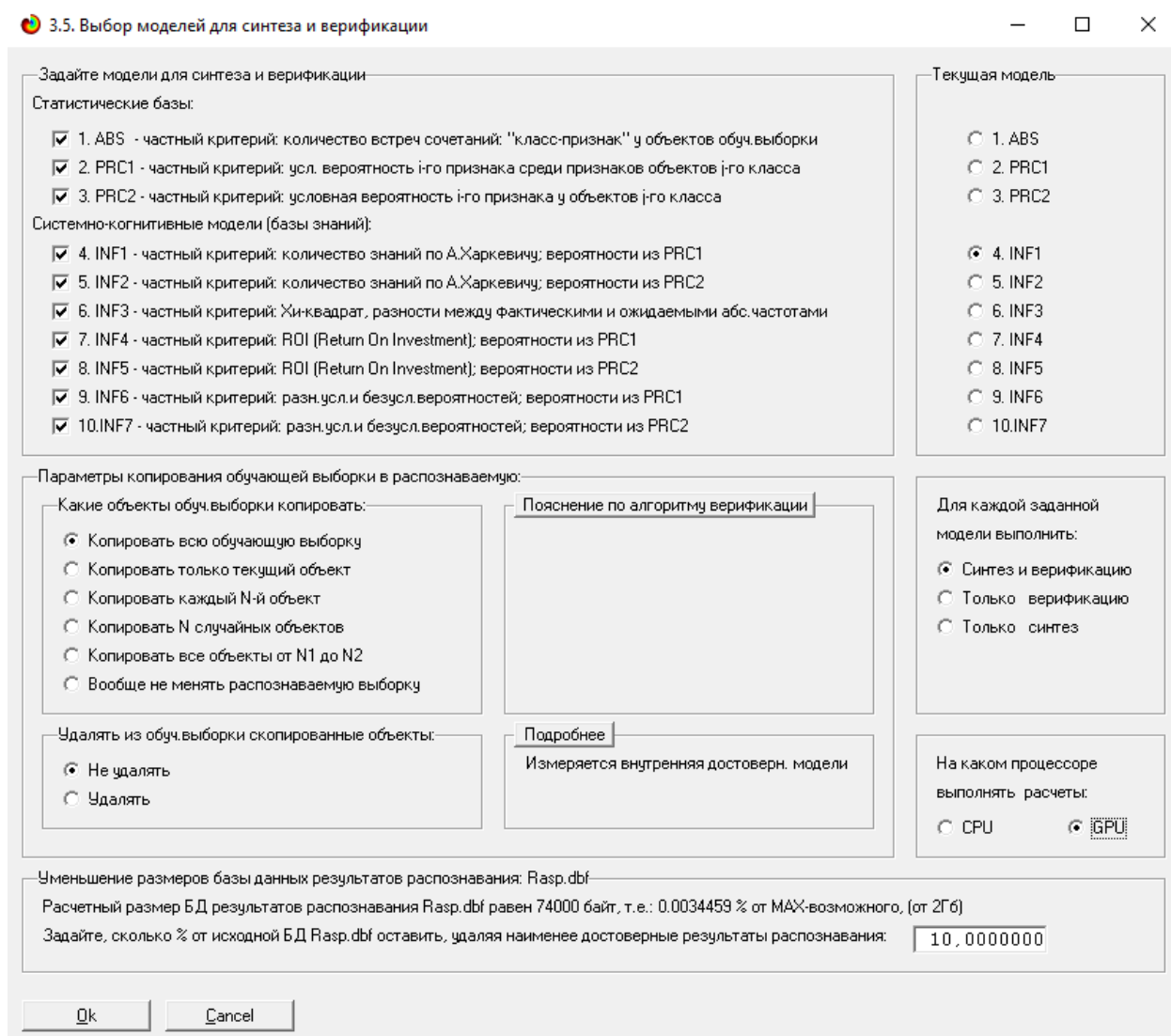


Рисунок 8 - Выбор моделей для синтеза и верификации

В данном режиме имеется много различных методов верификации моделей. Но мы используем параметры, приведенные на рисунке 8. Стадия процесса исполнения режима 3.5 и прогноз времени его окончания отображаются на экранной форме, приведенной на рисунке 8.

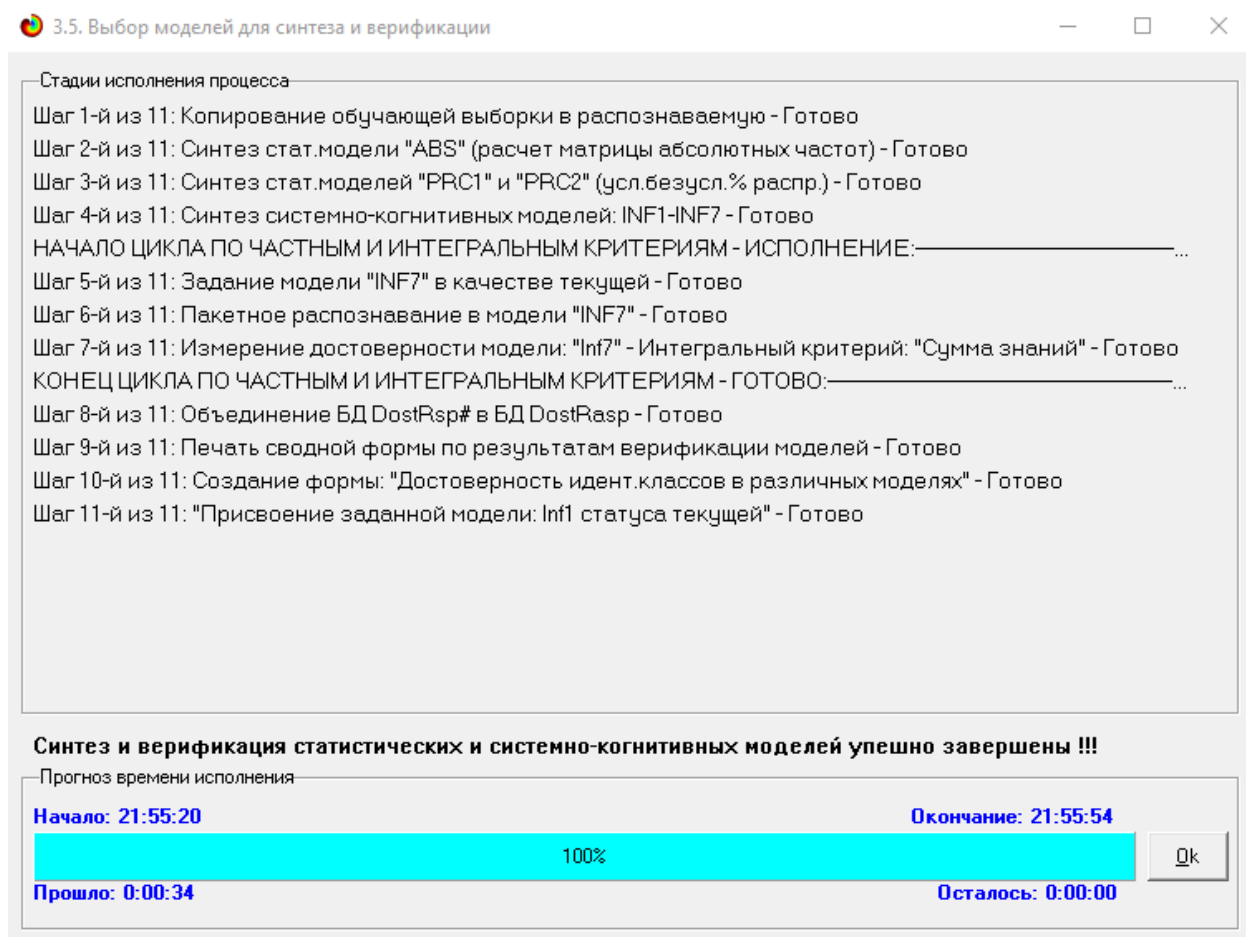


Рисунок 8 - Процесс исполнения режима 3.5

Интересно заметить (см. рисунок 8), что синтез и верификация всех 10 моделей на данной задаче заняли 34 секунды. При этом оценка достоверности моделей проводилась на 493 примерах наблюдения из обучающей выборки. После этого можно перейти непосредственно к выбору наиболее достоверной модели.

1.5. Виды моделей системы Aidos-X

Рассмотрим решение задачи идентификации на примере нескольких моделей, в которой рассчитано количество информации по А. Харкевичу, которое было получено по принадлежности идентифицируемого объекта к каждому из классов, если известно, что у этого объекта есть некоторый признак.

То есть частные критерии представляют собой просто формулы для преобразования матрицы абсолютных частот (рисунок 9) в матрицы условных и безусловных процентных распределений, и матрицы знаний (рисунок 10 и 11).

5.5. Модель: "1. ABS - частный критерий: количество встреч сочетаний: "Класс-признак" у объектов обуч.выборки"

Код признака	Наименование описательной шкалы и градации	1. YEAR 1/3 {1897.0, 1937.3}	2. YEAR 2/3 {1937.3, 1977.7}	3. YEAR 3/3 {1977.7, 2018.0}	Сумма	Среднее	Средн. кв.откл.
1	WINNER-Abdelkader El Mouaziz			3	3	1.00	1.73
2	WINNER-Abebe Mekonnen			1	1	0.33	0.58
3	WINNER-Abel Kirui			1	1	0.33	0.58
4	WINNER-Aberu Kebede			4	4	1.33	2.31
5	WINNER-Adriana Fernandez			1	1	0.33	0.58
6	WINNER-Alberto Salazar			4	4	1.33	2.31
7	WINNER-Alejandro Cruz			1	1	0.33	0.58
8	WINNER-Alevtina Biktimirova			1	1	0.33	0.58
9	WINNER-Alfredo Shahanga			1	1	0.33	0.58
10	WINNER-Allison Roe			2	2	0.67	1.15
11	WINNER-Allister Hutton			1	1	0.33	0.58
12	WINNER-Amby Burfoot		1		1	0.33	0.58
13	WINNER-Angelika Stephan			1	1	0.33	0.58
14	WINNER-Antti Viskari		1		1	0.33	0.58
15	WINNER-Anuta Catuna			1	1	0.33	0.58
16	WINNER-Arthur Roth	1			1	0.33	0.58
17	WINNER-Aselefech Mergia			1	1	0.33	0.58
18	WINNER-Atsede Baysa			3	3	1.00	1.73
19	WINNER-Atsede Habtamu			2	2	0.67	1.15
20	WINNER-Aurora Cunha			1	1	0.33	0.58
21	WINNER-Ben Kimondiu			1	1	0.33	0.58
22	WINNER-Berhane Adere			2	2	0.67	1.15
23	WINNER-Bill Kennedy	1			1	0.33	0.58
24	WINNER-Bill Rodgers		3	5	8	2.67	2.52
25	WINNER-Birhane Dibaba			2	2	0.67	1.15

Рисунок 9 - Матрица абсолютных частот (модель ABS) и условных и безусловных процентных распределений

Код признака	Наименование описательной шкалы и градации	1. YEAR 1/3 (1897.0, 1937.3)	2. YEAR 2/3 (1937.3, 1977.7)	3. YEAR 3/3 (1977.7, 2018.0)	Сумма	Среднее	Средн. квадр. откл.
1	WINNER-Abdelkader El Mouaziz			0.265	0.265	0.088	0.153
2	WINNER-Abebe Mekonnen			0.265	0.265	0.088	0.153
3	WINNER-Abel Kirui			0.265	0.265	0.088	0.153
4	WINNER-Aberu Kebede			0.265	0.265	0.088	0.153
5	WINNER-Adriana Fernandez			0.265	0.265	0.088	0.153
6	WINNER-Alberto Salazar			0.265	0.265	0.088	0.153
7	WINNER-Alejandro Cruz			0.265	0.265	0.088	0.153
8	WINNER-Alevtina Biktimirova			0.265	0.265	0.088	0.153
9	WINNER-Alfredo Shahanga			0.265	0.265	0.088	0.153
10	WINNER-Allison Roe			0.265	0.265	0.088	0.153
11	WINNER-Allister Hutton			0.265	0.265	0.088	0.153
12	WINNER-Amy Burfoot		6.684		6.684	2.228	3.859
13	WINNER-Angelika Stephan			0.265	0.265	0.088	0.153
14	WINNER-Antti Viskari		6.684		6.684	2.228	3.859
15	WINNER-Anuta Catuna			0.265	0.265	0.088	0.153
16	WINNER-Arthur Roth	11.610			11.610	3.870	6.703
17	WINNER-Aselefech Mergia			0.265	0.265	0.088	0.153
18	WINNER-Atsede Baysa			0.265	0.265	0.088	0.153
19	WINNER-Atsede Habtamu			0.265	0.265	0.088	0.153
20	WINNER-Aurora Cunha			0.265	0.265	0.088	0.153
21	WINNER-Ben Kimondiu			0.265	0.265	0.088	0.153
22	WINNER-Berhane Adere			0.265	0.265	0.088	0.153
23	WINNER-Bill Kennedy	11.610			11.610	3.870	6.703
24	WINNER-Bill Rodgers		1.882	-0.209	1.672	0.557	1.152
25	WINNER-Birhane Dibaba			0.265	0.265	0.088	0.153

Рисунок 10 - Модель INF4 (фрагмент)

Код признака	Наименование описательной шкалы и градации	1. YEAR 1/3 (1897.0, 1937.3)	2. YEAR 2/3 (1937.3, 1977.7)	3. YEAR 3/3 (1977.7, 2018.0)	Сумма	Среднее	Средн. квадрат. откл.
1	WINNER-Abdelkader El Mouaziz			0.265	0.265	0.088	0.153
2	WINNER-Abebe Mekonnen			0.265	0.265	0.088	0.153
3	WINNER-Abel Kirui			0.265	0.265	0.088	0.153
4	WINNER-Aberu Kebede			0.265	0.265	0.088	0.153
5	WINNER-Adriana Fernandez			0.265	0.265	0.088	0.153
6	WINNER-Alberto Salazar			0.265	0.265	0.088	0.153
7	WINNER-Alejandro Cruz			0.265	0.265	0.088	0.153
8	WINNER-Alevtina Biktimirova			0.265	0.265	0.088	0.153
9	WINNER-Alfredo Shahanga			0.265	0.265	0.088	0.153
10	WINNER-Allison Roe			0.265	0.265	0.088	0.153
11	WINNER-Allister Hutton			0.265	0.265	0.088	0.153
12	WINNER-Amy Burfoot		6.688		6.688	2.229	3.861
13	WINNER-Angelika Stephan			0.265	0.265	0.088	0.153
14	WINNER-Antti Viskari		6.688		6.688	2.229	3.861
15	WINNER-Anuta Catuna			0.265	0.265	0.088	0.153
16	WINNER-Arthur Roth	11.615			11.615	3.872	6.706
17	WINNER-Aselefech Mergia			0.265	0.265	0.088	0.153
18	WINNER-Atsede Baysa			0.265	0.265	0.088	0.153
19	WINNER-Atsede Habtamu			0.265	0.265	0.088	0.153
20	WINNER-Aurora Cunha			0.265	0.265	0.088	0.153
21	WINNER-Ben Kimondiu			0.265	0.265	0.088	0.153
22	WINNER-Berhane Adere			0.265	0.265	0.088	0.153
23	WINNER-Bill Kennedy	11.615			11.615	3.872	6.706
24	WINNER-Bill Rodgers		1.883	-0.210	1.673	0.558	1.152
25	WINNER-Birhane Dibaba			0.265	0.265	0.088	0.153

Рисунок 11 - Модель INF5 (фрагмент)

1.6. Результаты верификации моделей

Результаты верификации моделей, отличающихся частными критериями с двумя приведенными выше интегральными критериями представлены на рисунке 12.

3.4. Обобщенная форма доств.моделей при разн.инт.крит. Текущая модель: "INF1"

Наименование модели и частного критерия	Интегральный критерий	Всего логических объектов выборки	Число истинно-положительных решений (TP)	Число истинно-отрицательных решений (TN)	Число ложно-положительных решений (FP)	Число ложно-отрицательных решений (FN)	Точность модели	Полнота модели	F-мера Ван Рибсбергена	Сумма модул. уровней сход. истинно-полож. решений (STP)	Сумма модул. уровней сход. истинно-отриц. решений (STN)	Сумма уровней сход. ложно-полож. решений (STFP)	Сумма уровней сход. ложно-отриц. решений (STFN)
1. ABS - частный критерий: количество встреч соотв. "клас..."	Корреляция абс частот с обр...	492	492	25	73		0.871	1.000	0.931	277.647	0.264	19	
1. ABS - частный критерий: количество встреч соотв. "клас..."	Сумма абс частот по призна...	492	492	23	75		0.868	1.000	0.929	327.946		6	
2. PRC1 - частный критерий: усл. вероятность i-го признака сред...	Корреляция усл отн частот с о...	492	492	25	73		0.871	1.000	0.931	277.649	0.264	19	
2. PRC1 - частный критерий: усл. вероятность i-го признака сред...	Сумма усл отн частот по при...	492	492	23	75		0.868	1.000	0.929	183.481		17	
3. PRC2 - частный критерий: усиленная вероятность i-го признака...	Корреляция усл отн частот с о...	492	492	25	73		0.871	1.000	0.931	277.648	0.264	19	
3. PRC2 - частный критерий: усиленная вероятность i-го признака...	Сумма усл отн частот по при...	492	492	23	75		0.868	1.000	0.929	183.422		17	
4. INF1 - частный критерий: количество знаний по А.Харкевичу; в...	Семантический резонанс зна...	492	251	98		241	1.000	0.510	0.676	49.281	10.966		
4. INF1 - частный критерий: количество знаний по А.Харкевичу; в...	Сумма знаний	492	454	59	39	38	0.921	0.923	0.922	99.317	2.929	2	
5. INF2 - частный критерий: количество знаний по А.Харкевичу; в...	Семантический резонанс зна...	492	251	98		241	1.000	0.510	0.676	49.274	10.960		
5. INF2 - частный критерий: количество знаний по А.Харкевичу; в...	Сумма знаний	492	454	59	39	38	0.921	0.923	0.922	99.297	2.925	2	
6. INF3 - частный критерий: Хинквадрат; разности между фактин...	Семантический резонанс зна...	492	329	73	25	163	0.929	0.669	0.778	128.423	20.858	1	
6. INF3 - частный критерий: Хинквадрат; разности между фактин...	Сумма знаний	492	329	73	25	163	0.929	0.669	0.778	106.087	12.160	1	
7. INF4 - частный критерий: ROI (Return On Investment); вероятн...	Семантический резонанс зна...	492	220	98		272	1.000	0.447	0.618	55.093	13.507		
7. INF4 - частный критерий: ROI (Return On Investment); вероятн...	Сумма знаний	492	467	58	40	25	0.921	0.949	0.935	67.702	0.488	0	
8. INF5 - частный критерий: ROI (Return On Investment); вероятн...	Семантический резонанс зна...	492	220	98		272	1.000	0.447	0.618	55.075	13.502		
8. INF5 - частный критерий: ROI (Return On Investment); вероятн...	Сумма знаний	492	467	58	40	25	0.921	0.949	0.935	67.694	0.487	0	
9. INF6 - частный критерий: разн.усл.и безусл.вероятностей; вер...	Семантический резонанс зна...	492	326	50	48	166	0.872	0.663	0.753	117.080	4.194	6	
9. INF6 - частный критерий: разн.усл.и безусл.вероятностей; вер...	Сумма знаний	492	329	50	48	163	0.873	0.669	0.757	65.268	2.049	6	
10. INF7 - частный критерий: разн.усл.и безусл.вероятностей; ве...	Семантический резонанс зна...	492	326	50	48	166	0.872	0.663	0.753	117.049	4.187	6	
10. INF7 - частный критерий: разн.усл.и безусл.вероятностей; ве...	Сумма знаний	492	329	50	48	163	0.873	0.669	0.757	65.257	2.045	6	

Рисунок 12 - Оценки достоверности моделей

Наиболее достоверной в данном приложении оказалась модель INF1 при интегральной критерии «Сумма знаний». При этом точность модели (F-мера Ван Ризбергена) составляет 0,690 а точность модели (L1-мера профессора Луценко) - 0,976. L1-мера профессора Луценко является более достоверной, по сравнению с F-мерой Ван Ризбергена. Таким образом, уровень достоверности прогнозирования с применением модели выше, чем экспертных оценок, достоверность которых считается равной примерно 100%. Для оценки достоверности моделей в АСК-анализе и системе Aidos-X используется F-мера Ван Ризбергена и L-мера, представляющая собой ее нечеткое мультиклассовое обобщение, предложенное профессором Е.В.Луценко (рисунок 13).

Помощь по режимам: 3.4, 4.1.3.6, 4.1.3.7, 4.1.3.8, 4.1.3.10: Виды прогнозов и меры достоверности моделей в системе "Эйдос-Х++".

ПОЛОЖИТЕЛЬНЫЙ ПСЕВДОПРОГНОЗ.

Предположим, модель дает такой прогноз: выпадет 1, 2, 3, 4, 5 или 6. В этом случае у нее будет 100% достоверность идентификации, т.е. не будет ни одного объекта, не отнесенного к тому классу, к которому он действительно относится, но при этом будет очень большая ошибка ложной идентификации, т.к. огромное количество объектов будет отнесено к классам, к которым они не относятся (и именно за счет этого у модели и будет очень высокая достоверность идентификации). Ясно, что такой прогноз бесполезен, поэтому он и назван мнимым псевдопрогнозом.

ОТРИЦАТЕЛЬНЫЙ ПСЕВДОПРОГНОЗ.

Представим себе, что мы выбрасываем кубик с 6 гранями, и модель предсказывает, что не выпадет: 1, 2, 3, 4, 5 и 6, а что-то из этого естественно выпало. Конечно, модель дает ошибку в прогнозе в том плане, что не предсказала, что выпадет, зато она очень хорошо угадала, что не выпадет. Но ясно, что выпадет что-то одно, а не все, что предсказано, поэтому такого рода предсказания хорошо оправдываются в том, что не произошло и плохо в том, что произошло, т.е. в этом случае у модели будет 100% достоверность не идентификации, но очень низкая достоверность идентификации.

ИДЕАЛЬНЫЙ ПРОГНОЗ.

Если в случае с кубиком мы прогнозируем, что выпадет, например 1, и соответственно прогнозируем, что не выпадет 2, 3, 4, 5, и 6, то это идеальный прогноз, имеющий, если он осуществляется, 100% достоверность идентификации и не идентификации. Идеальный прогноз, который полностью снимает неопределенность о будущем состоянии объекта прогнозирования, на практике удается получить крайне редко и обычно мы имеем дело с реальным прогнозом.

РЕАЛЬНЫЙ ПРОГНОЗ.

На практике мы чаще всего сталкиваемся именно с этим видом прогноза. Реальный прогноз уменьшает неопределенность о будущем состоянии объекта прогнозирования, но не полностью, как идеальный прогноз, а оставляет некоторую неопределенность не снятой. Например, для игрального кубика делается такой прогноз: выпадет 1 или 2, и, соответственно, не выпадет 3, 4, 5 или 6. Понятно, что полностью на практике такой прогноз не может осуществиться, т.к. варианты выпадения кубика альтернативны, т.е. не может выпасть одновременно и 1, и 2. Поэтому у реального прогноза всегда будет определенная ошибка идентификации. Соответственно, если не осуществится один или несколько из прогнозируемых вариантов, то возникнет и ошибка не идентификации, т.к. это не прогнозировалось моделью. Теперь представьте себе, что у Вас не 1 кубик и прогноз его поведения, а тысячи. Тогда можно посчитать средневзвешенные характеристики всех этих видов прогнозов.

Таким образом, если просуммировать число верно идентифицированных и не идентифицированных объектов и вычесть число ошибочно идентифицированных и не идентифицированных объектов, а затем разделить на число всех объектов то это и будет критерий качества модели (классификатора), учитывающий как ее способность верно относить объекты к классам, которым они относятся, так и ее способность верно не относить объекты к тем классам, к которым они не относятся. Этот критерий предложен и реализован в системе "Эйдос" проф. Е.В. Луценко в 1994 году. Эта мера достоверности модели предполагает два варианта нормировки: $\{-1, +1\}$ и $\{0, 1\}$:

$$L_a = \frac{TP + TN - FP - FN}{TP + TN + FP + FN} \quad (\text{нормировка: } \{-1, +1\})$$

$$L_b = \frac{1 + (TP + TN - FP - FN)}{(TP + TN + FP + FN)} / 2 \quad (\text{нормировка: } \{0, 1\})$$

где количество: TP - истинно-положительных решений; TN - истинно-отрицательных решений; FP - ложно-положительных решений; FN - ложно-отрицательных решений;

Классическая F-мера достоверности моделей Ван Ризбергера (колонка выделена ярко-голубым фоном):

$F\text{-мера} = 2 * (\text{Precision} * \text{Recall}) / (\text{Precision} + \text{Recall})$ - достоверность модели

$\text{Precision} = TP / (TP + FP)$ - точность модели;

$\text{Recall} = TP / (TP + FN)$ - полнота модели;

L1-мера проф. Е.В. Луценко - нечеткое мультиклассовое обобщение классической F-меры с учетом СУММ уровней сходства (колонка выделена ярко-зеленым фоном):

$L1\text{-мера} = 2 * (\text{SPrecision} * \text{SRecall}) / (\text{SPrecision} + \text{SRecall})$

$\text{SPrecision} = \text{STP} / (\text{STP} + \text{SFP})$ - точность с учетом сумм уровней сходства;

$\text{SRecall} = \text{STP} / (\text{STP} + \text{SFN})$ - полнота с учетом сумм уровней сходства;

STP - Сумма модулей сходства истинно-положительных решений; STN - Сумма модулей сходства истинно-отрицательных решений;

SFP - Сумма модулей сходства ложно-положительных решений; SFN - Сумма модулей сходства ложно-отрицательных решений.

L2-мера проф. Е.В. Луценко - нечеткое мультиклассовое обобщение классической F-меры с учетом СРЕДНИХ уровней сходства (колонка выделена желтым фоном):

$L2\text{-мера} = 2 * (\text{APrecision} * \text{ARecall}) / (\text{APrecision} + \text{ARecall})$

$\text{APrecision} = \text{ATP} / (\text{ATP} + \text{AFP})$ - точность с учетом средних уровней сходства;

$\text{ARecall} = \text{ATP} / (\text{ATP} + \text{AFN})$ - полнота с учетом средних уровней сходства;

ATP=STP/TP - Среднее модулей сходства истинно-положительных решений; AFN=SFN/FN - Среднее модулей сходства истинно-отрицательных решений;

AFP=SFP/FP - Среднее модулей сходства ложно-положительных решений; AFN=SFN/FN - Среднее модулей сходства ложно-отрицательных решений.

Строки с максимальными значениями F-меры, L1-меры и L2-меры выделены фоном цвета, соответствующего колонке.

Из графиков частотных распределений истинно-положительных, истинно-отрицательных, ложно-положительных и ложно-отрицательных решений видно, что чем выше модуль уровня сходства, тем больше доля истинных решений. Значит модуль уровня сходства является адекватной мерой степени истинности решения и уверенности системы в этом решении.

Луценко Е.В. Инвариантное относительно объемов данных нечеткое мультиклассовое обобщение F-меры достоверности моделей Ван Ризбергера в АСК-анализе и системе "Эйдос" / Е.В. Луценко // Политематический сетевой электронный научный журнал Кубанского государственного аграрного университета (Научный журнал КубГАУ) [Электронный ресурс]. - Краснодар: КубГАУ, 2017. - №02(126). С. 1 - 32. - IDA [article ID]: 1261702001. - Режим доступа: <http://ej.kubagro.ru/2017/02/pdf/01.pdf>, 2 у.п.л.

Рисунок 13- Виды прогнозов и принцип определения достоверности моделей по авторскому варианту метрики, сходной с F-критерием

Также необходимо обратить внимание на то, что статистические модели, как правило, дают более низкую средневзвешенную достоверность идентификации и не идентификации, чем модели знаний, и практически никогда – более высокую. Этим и оправдано применение моделей знаний и 21 интеллектуальных технологий. На рисунке 14 приведены частные распределения уровней сходства и различия для верно и ошибочно

идентифицированных и не идентифицированных ситуаций в наиболее достоверной модели ABS.

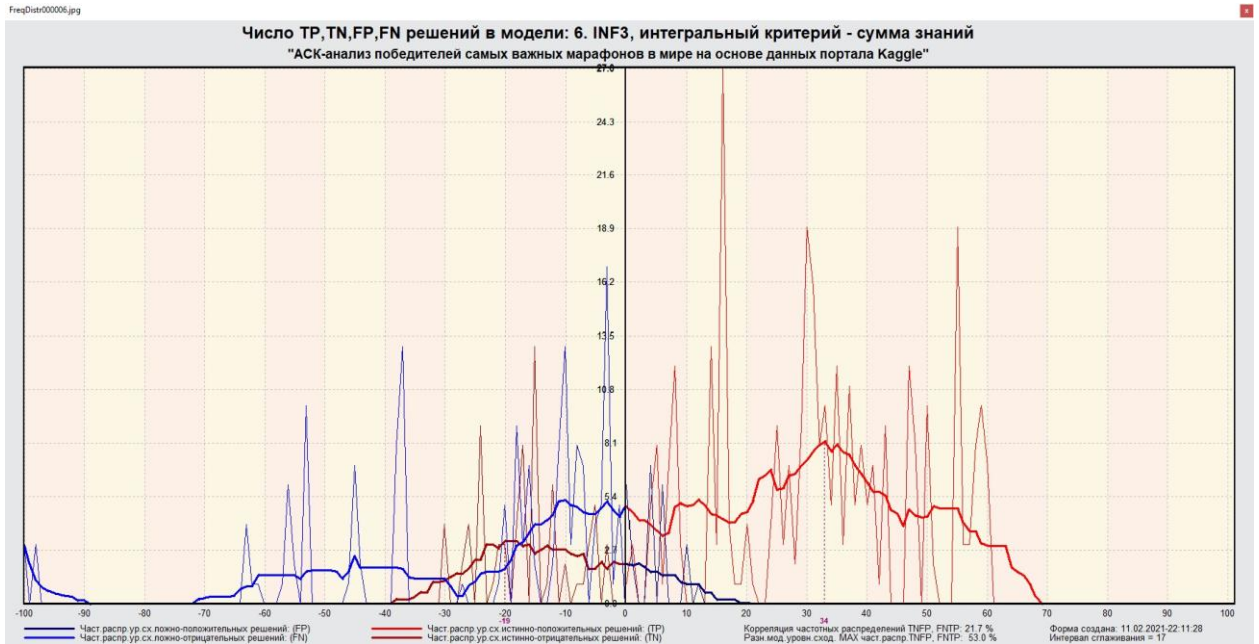


Рисунок 14 - Частотные распределения числа верно и ошибочно идентифицированных и не идентифицированных состояний объекта моделирования в зависимости от уровня сходства в модели INF3

Из рисунка 14 видно, что:

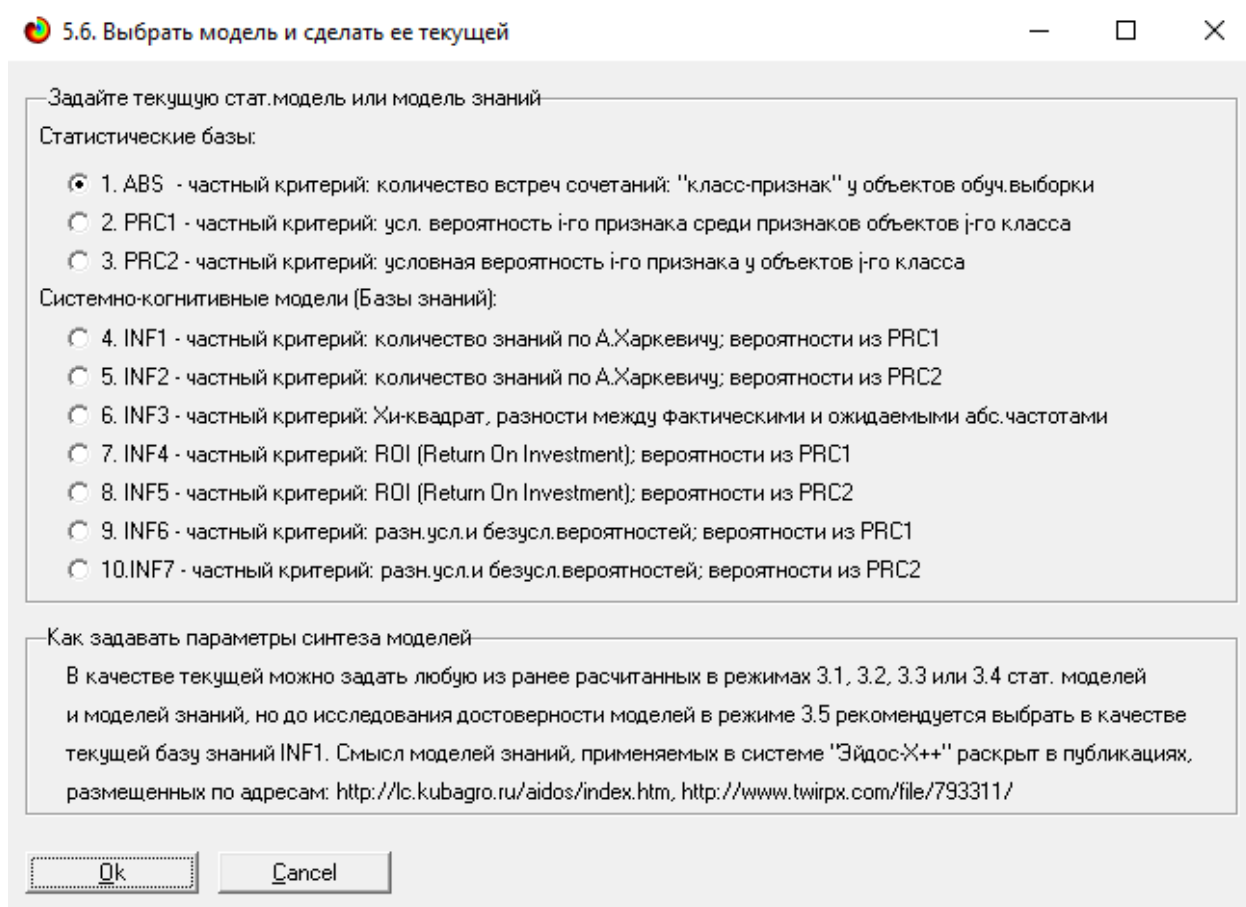
– наиболее модель INF3 лучше определяет непринадлежность объекта к классу, чем принадлежность;

– модуль уровня сходства-различия в модели INF3 для верно идентифицированных и верно не идентифицированных объектов значительно выше, чем для ошибочно идентифицированных и ошибочно не идентифицированных. Это верно практически для всего диапазона уровней сходства-различия, кроме небольших по модулю значений в диапазоне от 0 до 20% уровня сходства. Для уровней сходства-различия более 25% ошибочно идентифицированные и не идентифицированными ситуации практически отсутствуют.

2. РЕШЕНИЕ ЗАДАЧ В НАИБОЛЕЕ ДОСТОВЕРНОЙ МОДЕЛИ

2.1. Решение задачи идентификации

В соответствии с технологией АСК-анализа зададим текущей модель ABS (режим 5.6) (рисунок 15) и проведем пакетное распознавание в режиме 4.2.1.



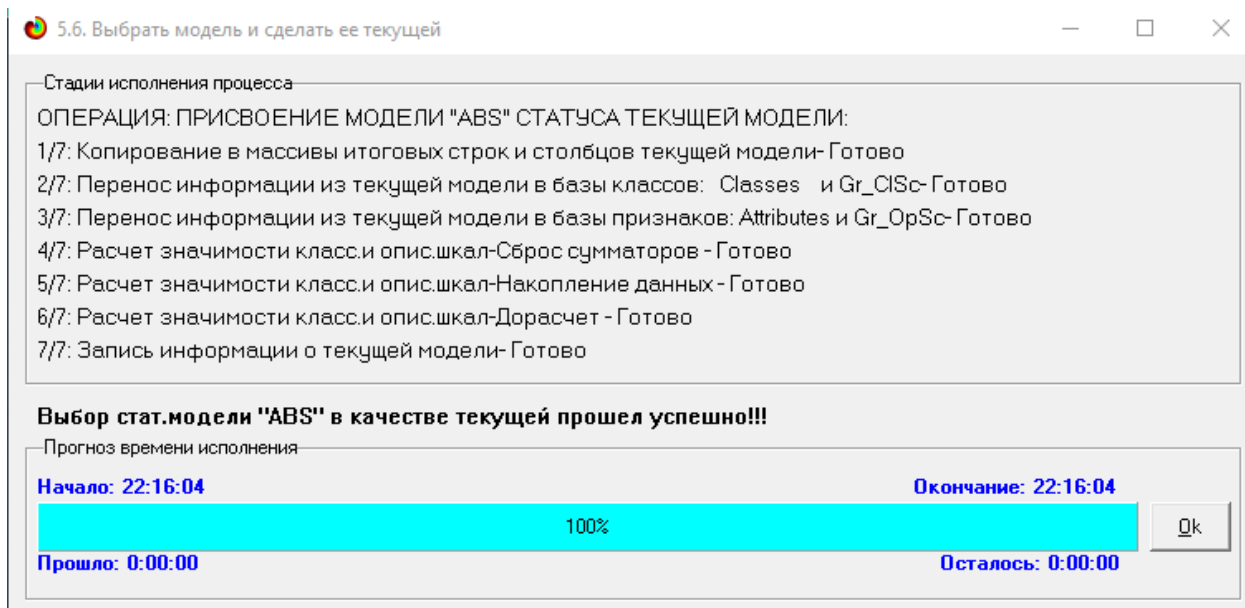


Рисунок 15 - Экранные формы режима задания модели в качестве текущей

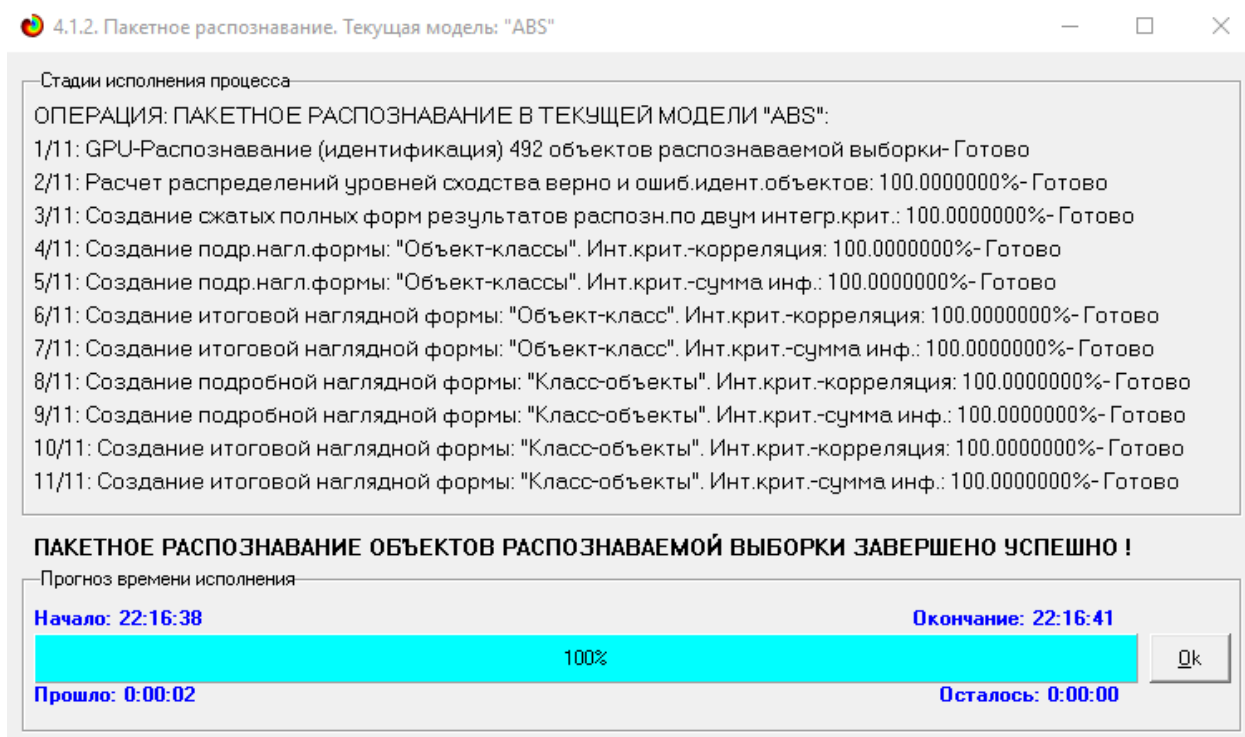


Рисунок 16 - Экранная форма режима пакетного распознавания в текущей модели

В результате пакетного распознавания в текущей модели создается ряд баз данных, которые визуализируются в выходных экранных формах, отражающих результаты решения задачи идентификации и прогнозирования.

Режим 4.1.3 системы Aidos-X обеспечивает отображение результатов идентификации и прогнозирования в различных формах:

1. Подробно наглядно: "Объект – классы".
2. Подробно наглядно: "Класс – объекты".
3. Итоги наглядно: "Объект – классы".
4. Итоги наглядно: "Класс – объекты".
5. Подробно сжато: "Объект – классы".
6. Обобщенная форма по достоверности моделей при разных интегральных критериях.
7. Обобщенный статистический анализ результатов идентификации по моделям и интегральным критериям.
8. Статистический анализ результатов идентификации по классам, моделям и интегральным критериям.
9. Распознавание уровня сходства при разных моделях и интегральных критериях.
10. Достоверность идентификации классов при разных моделях и интегральных критериях.

Ниже кратко рассмотрим некоторые из них.

На рисунках 17 и 18 приведены примеры прогнозов высокой и низкой достоверности частоты объектов и классов в модели ABS на основе наблюдения предыстории их развития:

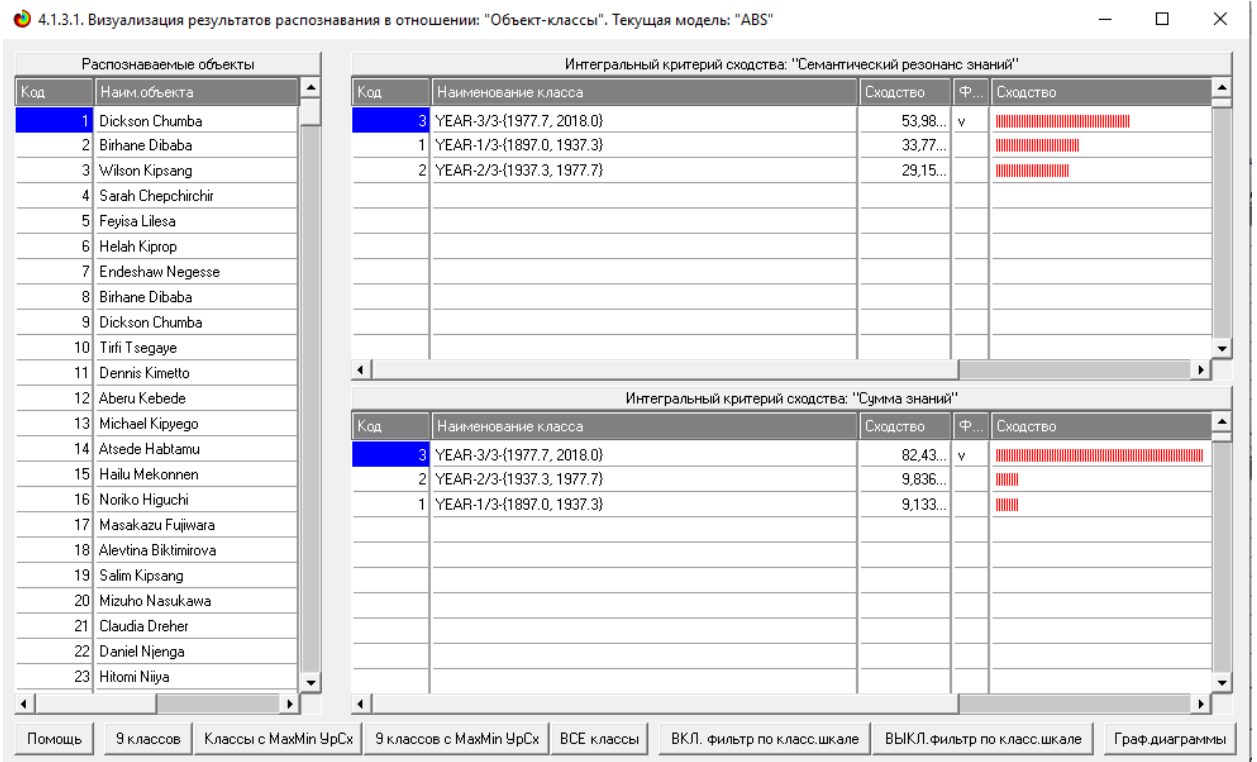


Рисунок 17. Пример идентификации объектов в модели ABS

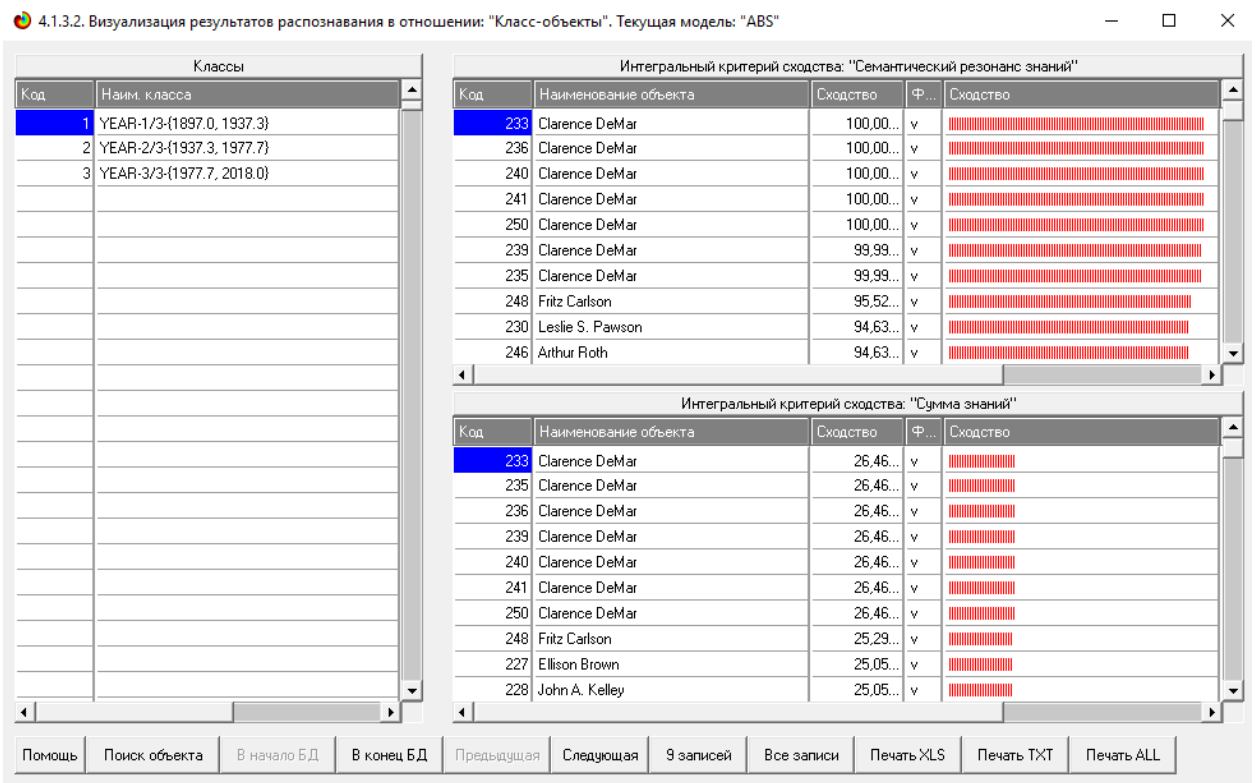


Рисунок 18. Пример идентификации классов в модели ABS

2.2. Кластерно-конструктивный анализ

Сходство-различие обобщенных образов различных результатов научной деятельности по характерным для них системам значений показателей. Результаты сравнения классов по системе характерных приведены на рисунке 19:

Код	Наименование класса	№	Код класса	Наименование класса	Сходство
1	YEAR-1/3-{1897.0, 1937.3}	1	1	YEAR-1/3-{1897.0, 1937.3}	100.000
2	YEAR-2/3-{1937.3, 1977.7}	2	2	YEAR-2/3-{1937.3, 1977.7}	-9.863
3	YEAR-3/3-{1977.7, 2018.0}	3	3	YEAR-3/3-{1977.7, 2018.0}	-40.923

Рисунок 19 - Результаты кластерно-конструктивного анализа классов

На рисунке 20 представлена семантическая сеть классов в модели «ABS».

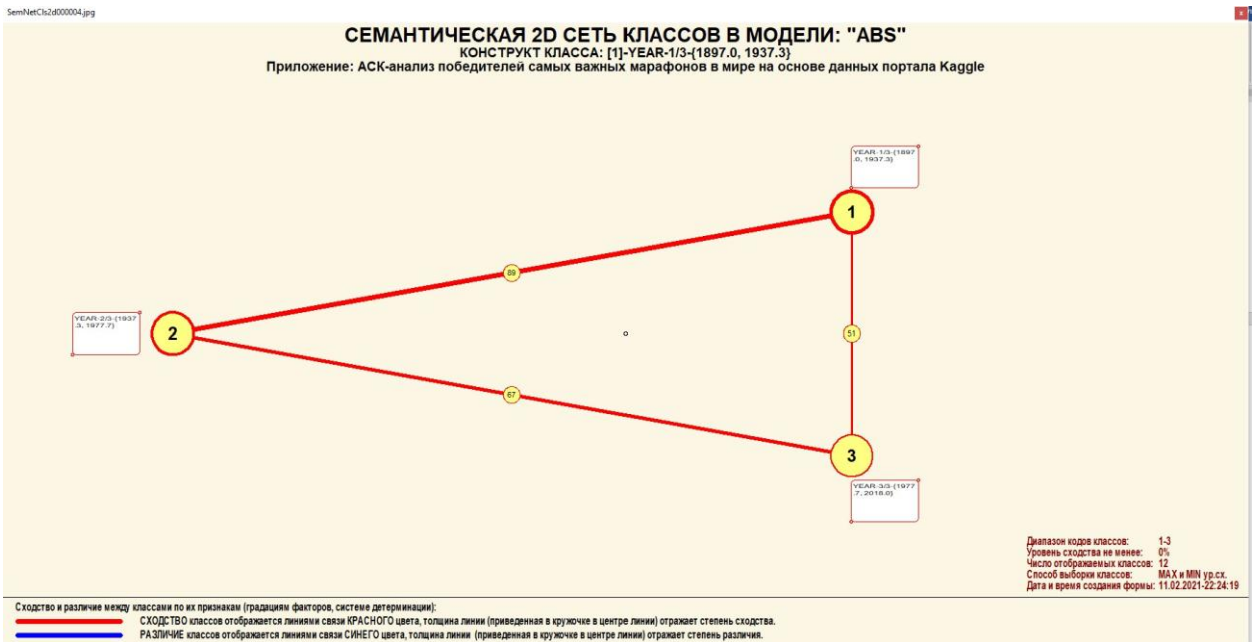


Рисунок 20 - Семантическая 2D сеть классов

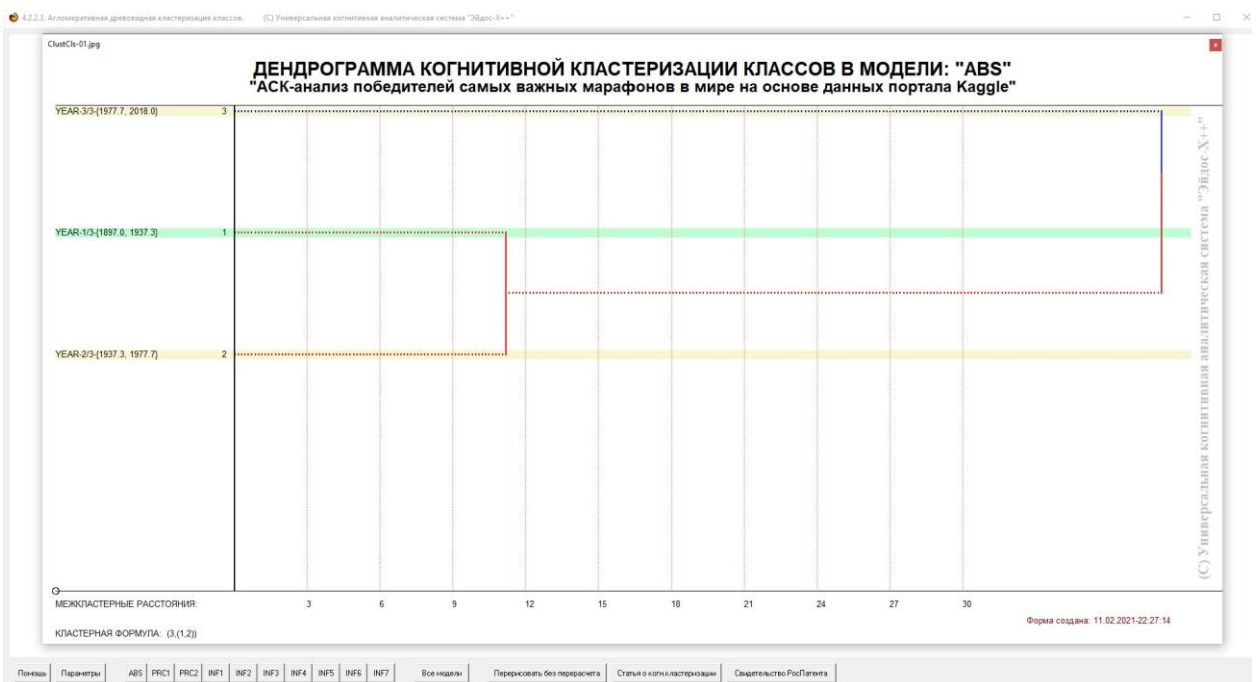


Рисунок 21 – Агломеративная дендрограмма классов

**ИЗМЕНЕНИЕ МЕЖКЛАСТЕРНЫХ РАССТОЯНИЙ ПРИ КОГНИТИВНОЙ КЛАСТЕРИЗАЦИИ КЛАССОВ В МОДЕЛИ: "ABS"
"АСК-анализ победителей самых важных марафонов в мире на основе данных портала Kaggle"**

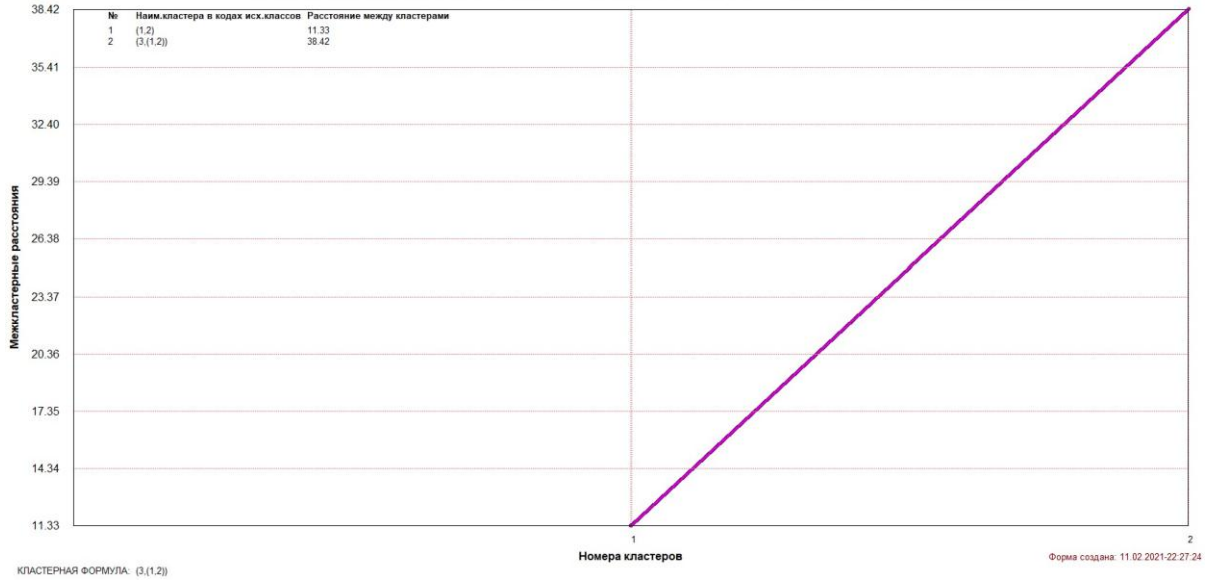


Рисунок 22 – График межкластерных расстояний классов

2.3. Нелокальные нейронные сети и нейтроны

Каждому классу системно-когнитивной модели соответствует нелокальный нейрон, совокупность которых образует нелокальную нейронную сеть.

Рассмотрим пару примеров, возвращаясь к нашим задачам.

На рисунке 23 изображено графическое отображение нелокальных нейронов в системе Aidos-X

Выбор нелокального нейрона (класса) для визуализации

Код	Наименование нелокального нейрона (класса)
1	YEAR-1/3-{1897.0, 1937.3}
2	YEAR-2/3-{1937.3, 1977.7}
3	YEAR-3/3-{1977.7, 2018.0}

Подготовка визуализации нейрона: 1 "YEAR-1/3-{1897.0, 1937.3}" в модели: 6 "INF3"

АКТИВИРУЮЩИЕ рецепторы и сила их влияния

Код	Наименование фактора и его интервального значения	Сила влияния
769	MARATHON-Boston	25.836
323	COUNTRY-United States	18.753
289	GENDER-Male	17.589
293	COUNTRY-Canada	9.048
38	WINNER-Clarence DeMar	6.445
119	WINNER-Jack Cafferly	1.841
138	WINNER-Johnny Miles	1.841
606	TIME-02:25:14	1.841
16	WINNER-Arthur Roth	0.921

ТОРМОЗЯЩИЕ рецепторы и сила их влияния

Код	Наименование фактора и его интервального значения	Сила влияния
288	GENDER-Female	-17.609
306	COUNTRY-Kenya	-10.789
772	MARATHON-NYC	-6.820
770	MARATHON-Chicago	-6.106
768	MARATHON-Berlin	-5.948
771	MARATHON-London	-5.159
298	COUNTRY-Ethiopia	-4.044
322	COUNTRY-United Kingdom	-2.696
773	MARATHON-Tokyo	-1.824

ВКЛЮЧИТЬ фильтр по фактору ВЫКЛЮЧИТЬ фильтр по фактору

Помощь Abs Prc1 Prc2 Inf1 Inf2 Inf3 Inf4 Inf5 Inf6 Inf7

НЕЙРОН Максимальное количество отображаемых рецепторов: 999 Минимальный вес коэф. отображаемых рецепторов: 0,000

Сортировать рецепторы: Отображать рецепторы:

по информативности с наименованиями

по модулю информативности только с кодами

Рисунок 24 - Графическое отображение нелокальных нейронов в системе Aidos-X

Для каждого технологического фактора в соответствии с предложенной моделью определяется величина и направление его влияния на осуществление всех желаемых и не желаемых хозяйственных ситуаций. Для каждой ситуации эта информация отображается в различных текстовых и графических формах, в частности в форме нелокального нейрона (рисунок 25). На данной диаграмме цвет линии означает знак связи (красный – положительная, синий – отрицательная), а толщина – ее модуль.

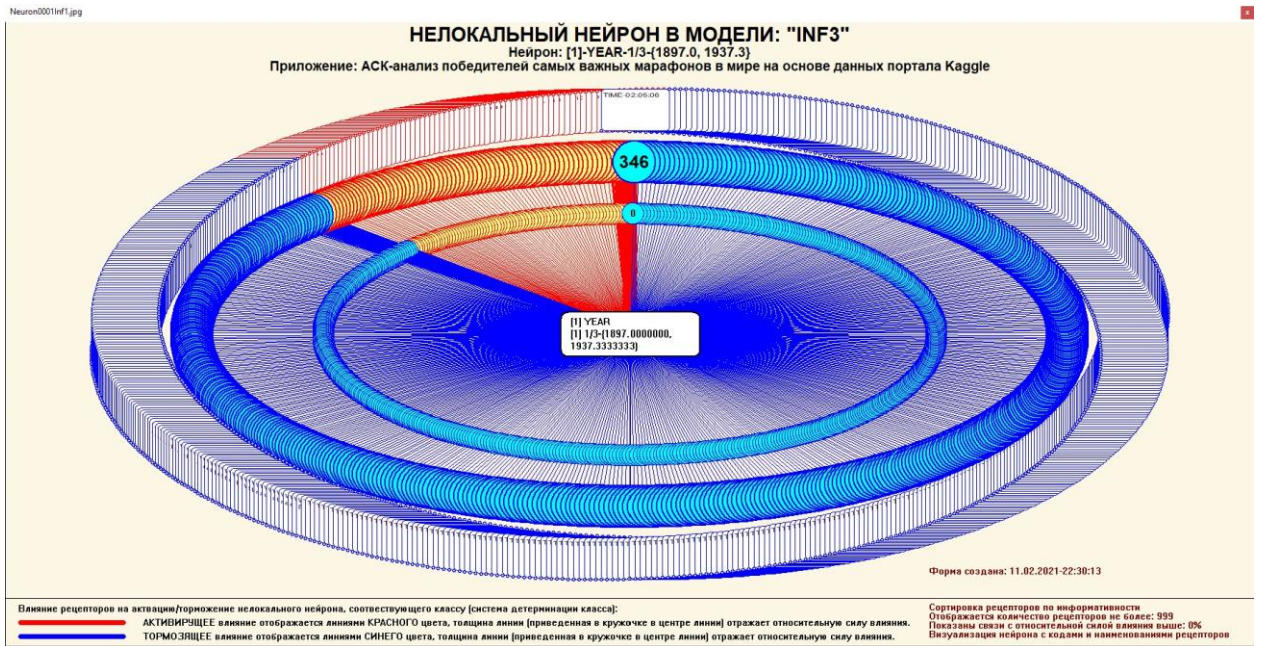


Рисунок 25 - Нелокальный нейрон в модели "INF3"

Дополнение модели нейрона связями факторов позволяет построить классическую когнитивную карту ситуации (будущего состояния АОУ). Детальная внутренняя структура любой связи отображается в форме инвертированной когнитивной диаграммы (рисунок 26). Необходимо отметить, что все указанные графические формы генерируются системой Aidos-X автоматически в соответствии с созданной моделью[9].

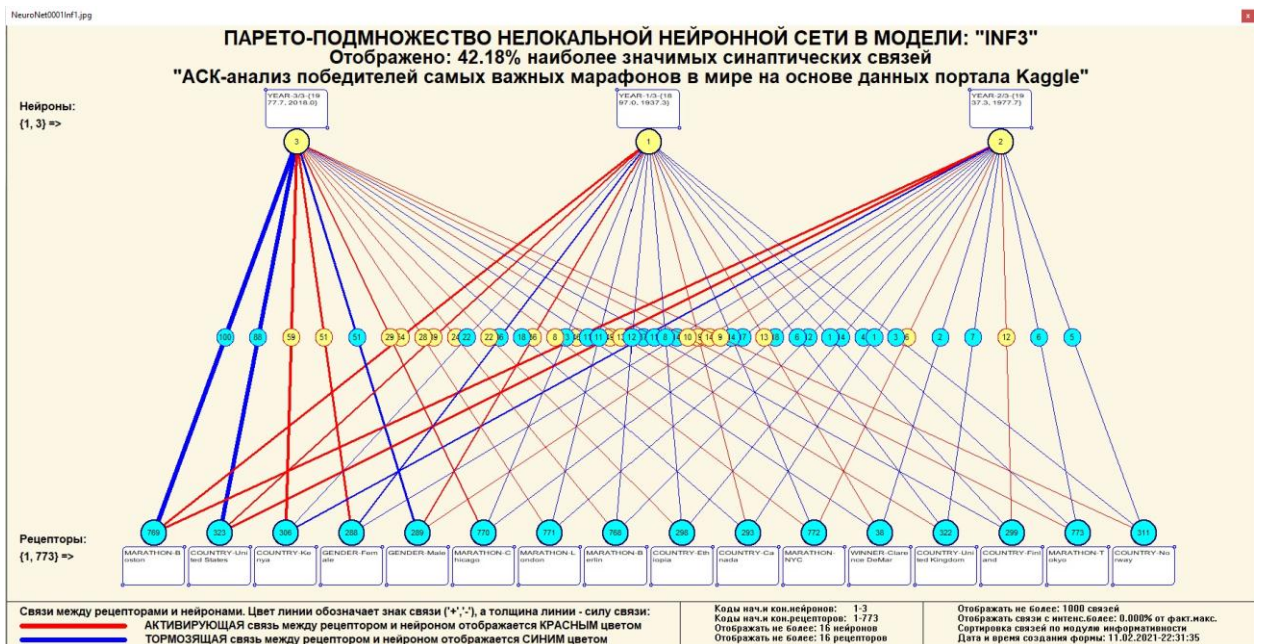


Рисунок 26 - Паретто – подмножество нелокальной нейронной сети

2.4. SWOT и PEST матрицы и диаграммы

SWOT-анализ является широко известным и общепризнанным методом стратегического планирования. Однако это не мешает тому, что он подвергается критике, часто вполне справедливой, обоснованной и хорошо аргументированной. В результате критического рассмотрения SWOT анализа выявлено довольно много его слабых сторон (недостатков), источником которых является необходимость привлечения экспертов, в частности для оценки силы и направления влияния факторов. Ясно, что эксперты это делают не формализуемым путем (интуитивно), на основе своего профессионального опыта и компетенции. Но возможности экспертов имеют свои ограничения и часто по различным причинам они не могут и не хотят это сделать. Таким образом, возникает проблема проведения SWOT анализа без привлечения экспертов. Эта проблема может решаться путем автоматизации функций экспертов, т.е. путем измерения силы и направления влияния факторов непосредственно на основе эмпирических данных. Подобная технология разработана давно, ей уже около 30 лет, но она малоизвестна – это интеллектуальная система Aidos-X. Данная система всегда обеспечивала возможность проведения количественного автоматизированного SWOT-анализа без использования экспертных оценок непосредственно на основе эмпирических данных. Результаты SWOT-анализа выводились в форме информационных портретов. В версии системы под MS Windows: Aidos-X++ предложено автоматизированное количественное решение прямой и обратной задач SWOT-анализа с построением традиционных SWOT-матриц и диаграмм (рисунок 27).

На рисунке 28 приведен пример табличной выходной формы количественного автоматизированного SWOT- и PEST- анализа средствами системы Aidos.

Выбор класса, соответствующего будущему состоянию объекта управления

Код	Наименование класса	Редукция клас...	N объектов (абс.)	N объектов (%)
1	YEAR-1/3-(1897.0, 1937.3)	2,2619311	195	0,0000000
2	YEAR-2/3-(1937.3, 1977.7)	2,7728161	320	0,0000000
3	YEAR-3/3-(1977.7, 2018.0)	12,7285876	1944	0,0000000

SWOT-анализ класса: 1 "YEAR-1/3-(1897.0, 1937.3)" в модели: 6 "INF3"

Способствующие факторы и сила их влияния

Код	Наименование фактора и его интервального значения	Сила влияния
769	MARATHON-Boston	25.836
323	COUNTRY-United States	18.753
289	GENDER-Male	17.589
293	COUNTRY-Canada	9.048
38	WINNER-Clarence DeMar	6.445
119	WINNER-Jack Caffery	1.841
138	WINNER-Johnny Miles	1.841
606	TIME-02:25:14	1.841
16	WINNER-Arthur Roth	0.921
23	WINNER-Bill Kennedy	0.921
29	WINNER-Carl Linder	0.921
34	WINNER-Charles Mellor	0.921
45	WINNER-Dave Komonen	0.921
801	WINNER-Frank Zuna	0.921

Препятствующие факторы и сила их влияния

Код	Наименование фактора и его интервального значения	Сила влияния
288	GENDER-Female	-17.605
306	COUNTRY-Kenya	-10.785
772	MARATHON-NYC	-6.820
770	MARATHON-Chicago	-6.106
768	MARATHON-Berlin	-5.948
771	MARATHON-London	-5.155
298	COUNTRY-Ethiopia	-4.044
322	COUNTRY-United Kingdom	-2.696
773	MARATHON-Tokyo	-1.824
305	COUNTRY-Japan	-1.745
311	COUNTRY-Norway	-1.586
300	COUNTRY-Germany	-0.903
101	WINNER-Grete Waitz	-0.872
299	COUNTRY-Finland	-0.714

ВКЛЮЧИТЬ фильтр по фактору ВЫКЛЮЧИТЬ фильтр по фактору

Помощь Abs Prc1 Prc2 Inf1 Inf2 Inf3 Inf4 Inf5 Inf6 Inf7

SWOT-диаграмма

SWOTdiagCls0001-06.jpg

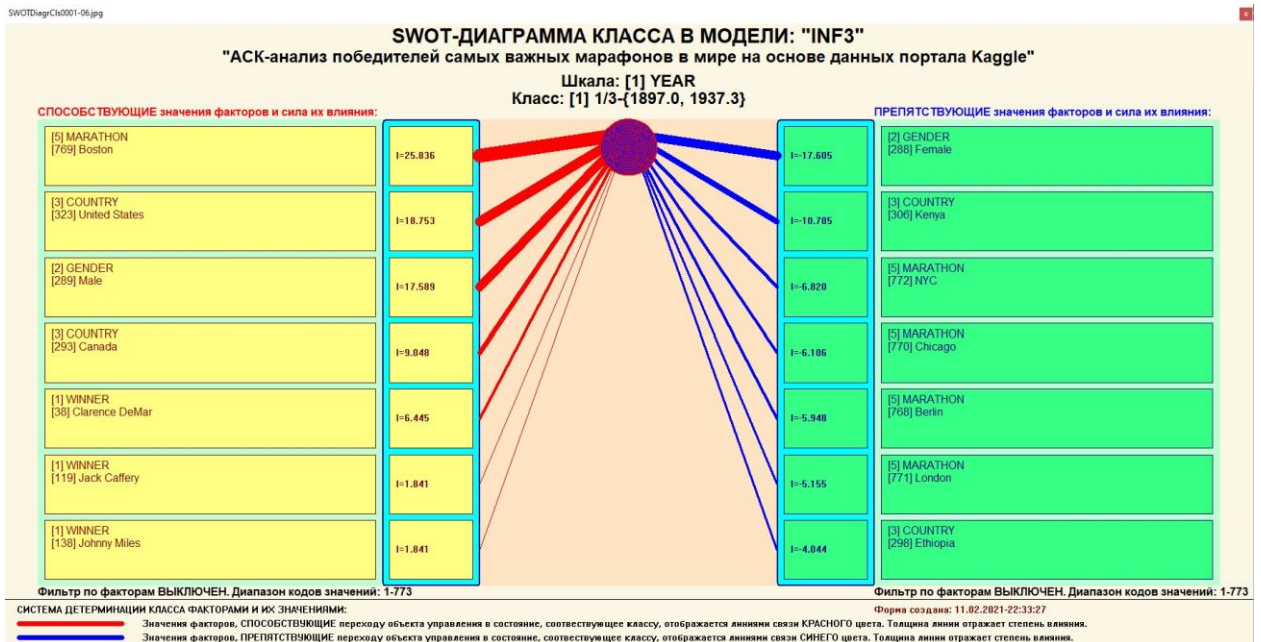


Рисунок 27 - Пример SWOT-матрицы в модели INF3

Выбор значения фактора, оказывающего влияние на переход объекта управления в будущие состояния

Код	Наименование значения фактора
1	WINNER-Abdelkader El Mouaziz
2	WINNER-Abebe Mekonnen
3	WINNER-Abel Kirui
4	WINNER-Aberu Kebede
5	WINNER-Adriana Fernandez
6	WINNER-Alberto Salazar

SWOT-анализ значения фактора:1 "WINNER-Abdelkader El Mouaziz" в модели:6 "INF3"

СПОСОБСТВУЕТ:

Код	Состояния объекта управления, переходу в которые данное значение фактора СПОСОБСТВУЕТ	Сила влияния
3	YEAR-3/3-(1977.7, 2018.0)	0.628

ПРЕПЯТСТВУЕТ:

Код	Состояния объекта управления, переходу в которые данное значение фактора ПРЕПЯТСТВУЕТ	Сила влияния
2	YEAR-2/3-(1937.3, 1977.7)	-0.390
1	YEAR-1/3-(1897.0, 1937.3)	-0.238

ВКЛЮЧИТЬ фильтр по кл.шкале ВЫКЛЮЧИТЬ фильтр по кл.шкале ВКЛЮЧИТЬ фильтр по кл.шкале ВЫКЛЮЧИТЬ фильтр по кл.шкале

Помощь Abs Prc1 Prc2 Inf1 Inf2 Inf3 Inf4 Inf5 Inf6 Inf7 SWOT-диаграмма

Рисунок 28 - Табличная выходная форма количественного автоматизированного SWOT- и PEST- анализа средствами системы Aidos

На рисунке 29 приведен пример графической выходной формы количественного автоматизированного SWOT- и PEST- анализа средствами системы Aidos.

В данной курсовой работе было показано построение модели зависимости страны происхождения участников марафона и побед системой искусственного интеллекта "Aidos-X++". При этом наиболее достоверной в данном приложении оказалась модель INF3, основанная на семантической мере целесообразности информации А.Харкевича при интегральном критерии «Сумма знаний». Точность модели составляет 0,976, что заметно выше, чем достоверность экспертных оценок, которая считается равной около 49,4%.

АСК-анализ текстов позволяет:

- формировать обобщенные лингвистические образы классов (семантические ядра) на основе фрагментов или примеров относящихся к ним текстов на любом языке;
- количественно сравнивать лингвистический образ конкретного человека, или описание объекта, процесса с обобщенными лингвистическими образами групп (классов);
- сравнивать обобщенные лингвистические образы классов друг с другом и создавать их кластеры и конструкты;
- исследовать моделируемую предметную область путем исследования ее лингвистической системно-когнитивной модели;
- проводить интеллектуальную атрибуцию текстов, т.е. определять вероятное авторство анонимных и псевдонимных текстов, датировку, жанр и смысловую направленность содержания текстов;
- все это можно делать для любого естественного или искусственного языка или системы кодирования.

СПИСОК ИСПОЛЬЗУЕМЫХ ИСТОЧНИКОВ

1. Луценко Е.В. Синтез адаптивных интеллектуальных измерительных систем с применением АСК-анализа и системы «Эйдос» и системная идентификация в эконометрике, биометрии, экологии, педагогике, психологии и медицине / Е.В. Луценко // Политематический сетевой электронный научный журнал Кубанского государственного аграрного университета (Научный журнал КубГАУ) [Электронный ресурс]. – Краснодар: КубГАУ, 2016. – №02(116). С. 1 – 60. – IDA [article ID]: 1161602001. – Режим доступа: <http://ej.kubagro.ru/2016/02/pdf/01.pdf>, 3,75 у.п.л.3.

2. Луценко Е.В. АСК-анализ, моделирование и идентификация живых существ на основе их фенотипических признаков / Е.В. Луценко, Ю.Н. Пенкина // Политематический сетевой электронный научный журнал Кубанского государственного аграрного университета (Научный журнал КубГАУ) [Электронный ресурс]. – Краснодар: Куб- ГАУ, 2014. – №06(100). С. 1346 – 1395. – IDA [article ID]: 1001406090. – Режим доступа: <http://ej.kubagro.ru/2014/06/pdf/90.pdf>, 3,125 у.п.л.

3. Луценко Е.В. Автоматизированный системно-когнитивный анализ в управлении активными объектами (системная теория информации и ее применение в исследовании экономических, социально-психологических, технологических и организационно-технических систем): Монография (научное издание). – Краснодар: КубГАУ. 2002. – 605 с.

4. [Электронный ресурс]. Статья "Emergency – 911 Calls": <https://www.kaggle.com/mchirico/montcoalert>, свободный. - Загл. скрана. Яз.анг.

5. Сайт профессора Е.В.Луценко [Электронный ресурс]. Режим доступа: <http://lc.kubagro.ru/>, свободный. - Загл. с экрана. Яз.рус.

6. Луценко Е.В. Количественная оценка степени манипулирования индексом Хирша и его модификация, устойчивая к манипулированию / Е.В. Луценко, А.И. Орлов // Политематический сетевой электронный научный журнал Кубанского государственного аграрного университета (Научный журнал КубГАУ) [Электронный ресурс]. – Краснодар: КубГАУ, 2016. – №07(121). С. 202 – 234. – IDA [article ID]: 1211607005. – Режим доступа: <http://ej.kubagro.ru/2016/07/pdf/05.pdf>, 2,062 у.п.л.. <http://dx.doi.org/10.21515/1990-4665-121-0057>.

7. Луценко Е.В. Универсальная когнитивная аналитическая система «Эйдос- X++» / Е.В. Луценко // Политематический сетевой электронный научный журнал Кубанского государственного аграрного университета (Научный журнал КубГАУ) [Электронный ресурс]. – Краснодар: КубГАУ, 2012. – №09(083). С. 328 – 356. – IDA [article ID]: 0831209025. – Режим доступа: <http://ej.kubagro.ru/2012/09/pdf/25.pdf>, 1,812 у.п.л.

8. Луценко Е.В. Системная теория информации и нелокальные интерпретируемые нейронные сети прямого счета / Е.В. Луценко // Политематический сетевой электронный научный журнал Кубанского государственного аграрного университета (Научный журнал КубГАУ) [Электронный ресурс]. – Краснодар: КубГАУ, 2003. – №01(001). С. 79 – 91. – IDA [article ID]: 0010301011. – Режим доступа: <http://ej.kubagro.ru/2003/01/pdf/11.pdf>, 0,812 у.п.л.

9. Луценко Е.В. Синтез семантических ядер научных специальностей ВАК РФ и автоматическая классификации статей по научным специальностям с применением АСК-анализа и интеллектуальной системы «Эйдос» (на примере Научного журнала КубГАУ и его научных специальностей: механизации, агрономии и ветеринарии) / Е.В. Луценко, Н.В. Андрафанова, Н.В. Потапова // Политематический сетевой электронный научный журнал Кубанского государственного аграрного университета (Научный журнал КубГАУ) [Электронный ресурс]. – Краснодар: КубГАУ, 2019. – №01(145). С. 31 – 102. – IDA [article ID]: 1451901033. – Режим доступа: <http://ej.kubagro.ru/2019/01/pdf/33.pdf>, 4,5 у.п.л.

10. Луценко Е.В. Формирование семантического ядра ветеринарии путем Автоматизированного системно-когнитивного анализа паспортов научных специальностей ВАК РФ и автоматическая классификация текстов по направлениям науки / Е.В. Луценко // Политематический сетевой электронный научный журнал Кубанского государственного аграрного университета (Научный журнал КубГАУ) [Электронный ресурс]. – Краснодар: КубГАУ, 2018. – №10(144). С. 44 – 102. – IDA [article ID]: 1441810033. – Режим доступа: <http://ej.kubagro.ru/2018/10/pdf/33.pdf>, 3,688 у.п.л.

11. Луценко Е.В. Интеллектуальная привязка некорректных ссылок к литературным источникам в библиографических базах данных с применением АСК-анализа и системы «Эйдос» (на примере Российского индекса научного цитирования –

РИНЦ) / Е.В. Луценко, В.А. Глухов // Политематический сетевой электронный научный журнал Кубанского государственного аграрного университета (Научный журнал КубГАУ) [Электронный ресурс]. – Краснодар: КубГАУ, 2017. – №01(125). С. 1 – 65. – IDA [article ID]: 1251701001. – Режим доступа: <http://ej.kubagro.ru/2017/01/pdf/01.pdf>, 4,062 у.п.л.

12. Луценко Е.В. Применение АСК-анализа и интеллектуальной системы "Эйдос" для решения в общем виде задачи идентификации литературных источников и авторов по стандартным, нестандартным и некорректным библиографическим описаниям / Е.В. Луценко // Политематический сетевой электронный научный журнал Кубанского государственного аграрного университета (Научный журнал КубГАУ) [Электронный ресурс]. – Краснодар: КубГАУ, 2014. – №09(103). С. 498 – 544. – IDA [article ID]: 1031409032. – Режим доступа: <http://ej.kubagro.ru/2014/09/pdf/32.pdf>, 2,938 у.п.л.

13. Луценко Е.В. АСК-анализ проблематики статей Научного журнала КубГАУ в динамике / Е.В. Луценко, В.И. Лойко // Политематический сетевой электронный научный журнал Кубанского государственного аграрного университета (Научный журнал КубГАУ) [Электронный ресурс]. – Краснодар: КубГАУ, 2014. – №06(100). С. 109 – 145. – IDA [article ID]: 1001406007. – Режим доступа: <http://ej.kubagro.ru/2014/06/pdf/07.pdf>, 2,312 у.п.л.

14. Луценко Е.В. Атрибуция анонимных и псевдонимных текстов в системно-когнитивном анализе / Е.В. Луценко // Политематический сетевой электронный научный журнал Кубанского государственного аграрного университета (Научный журнал КубГАУ) [Электронный ресурс]. – Краснодар: КубГАУ, 2004. – №03(005). С. 44 – 64. – IDA [article ID]: 0050403003. – Режим доступа: <http://ej.kubagro.ru/2004/03/pdf/03.pdf>, 1,312 у.п.л.

15. Луценко Е.В. Атрибуция текстов, как обобщенная задача идентификации и прогнозирования / Е.В. Луценко // Политематический сетевой электронный научный журнал Кубанского государственного аграрного университета (Научный журнал КубГАУ) [Электронный ресурс]. – Краснодар: КубГАУ, 2003. – №02(002). С. 146 – 164. – IDA [article ID]: 0020302013. – Режим доступа: <http://ej.kubagro.ru/2003/02/pdf/13.pdf>, 1,188 у.п.л.

16. Луценко Д.С., Луценко Е.В. Интеллектуальная датировка текста, определение авторства и жанра на примере русской литературы XIX и XX веков, 2020 // Статья в открытом архиве. 38 с. –

DOI: [10.13140/RG.2.2.28824.01281](https://doi.org/10.13140/RG.2.2.28824.01281), <https://www.elibrary.ru/item.asp?id=43796415>

17. Lutsenko D.S., Lutsenko E.V. Intellectual attribution of literary texts (finding the dates of the text, determining authorship and genre on the example of russian literature of the XIX and XX centuries), 2020 // Статья в открытом архиве. 9 р. –

DOI: [10.13140/RG.2.2.15349.81122](https://doi.org/10.13140/RG.2.2.15349.81122), <https://www.elibrary.ru/item.asp?id=43794562>